

Low-Power Positionierung in Sensornetzwerken

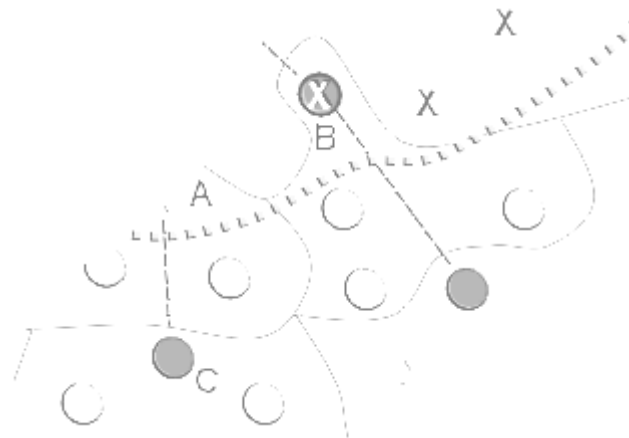
3rd Summerschool, 14.09.2004
Schloss Dagstuhl

Jan Blumenthal, Universität Rostock

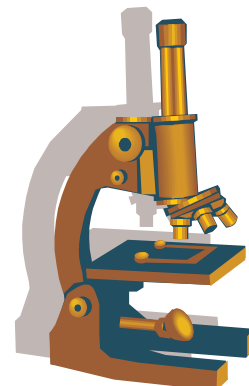


Gliederung

- Einleitung
- Mathematische Methoden
- Komplexitätsbetrachtungen und Energieverbrauch
- Positionsbestimmung in Sensornetzwerken
- Aktuelle Algorithmen

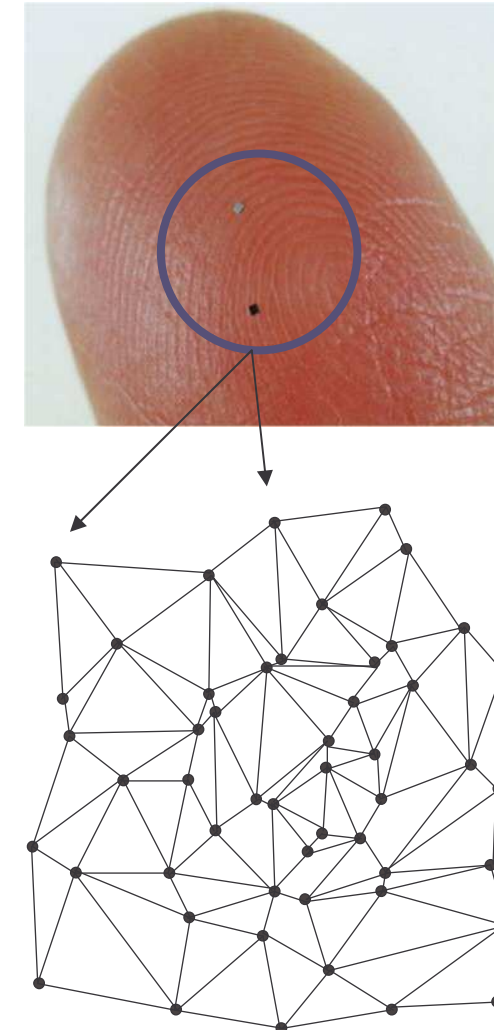


Einleitung

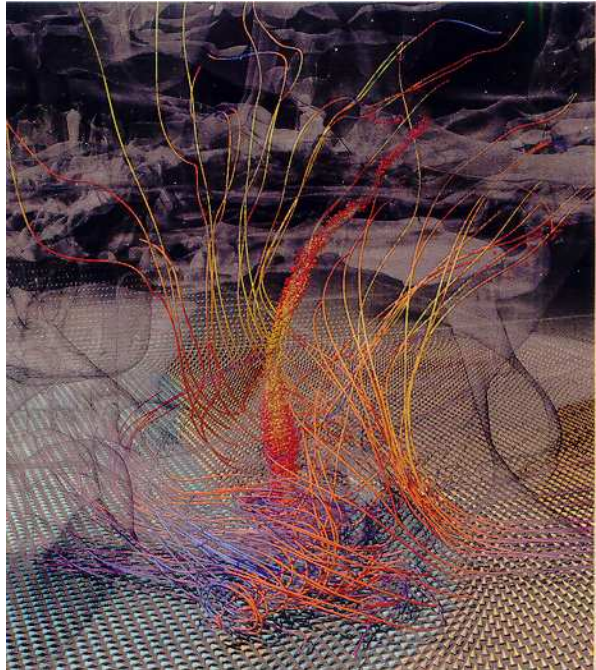


Definition

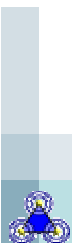
- Sensornetzwerke:
 - Hunderte Sensorknoten
 - Zufällige Platzierung
 - Drahtlose Kommunikation
- Eigenschaften
 - Sich ändernde Netzwerktopologie
 - Fehleranfälligkeit
 - Selbstorganisierend
 - Ressourcenarm



Motivation

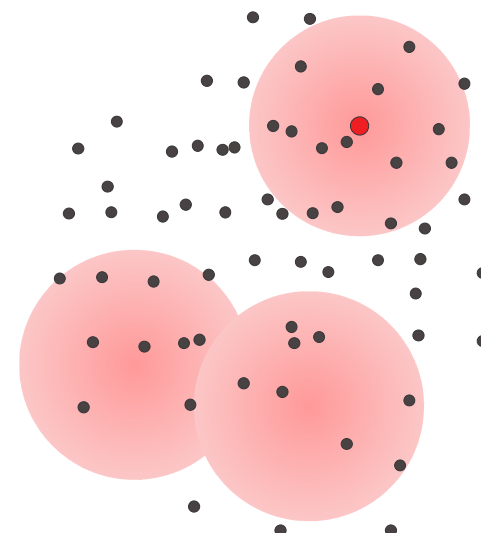
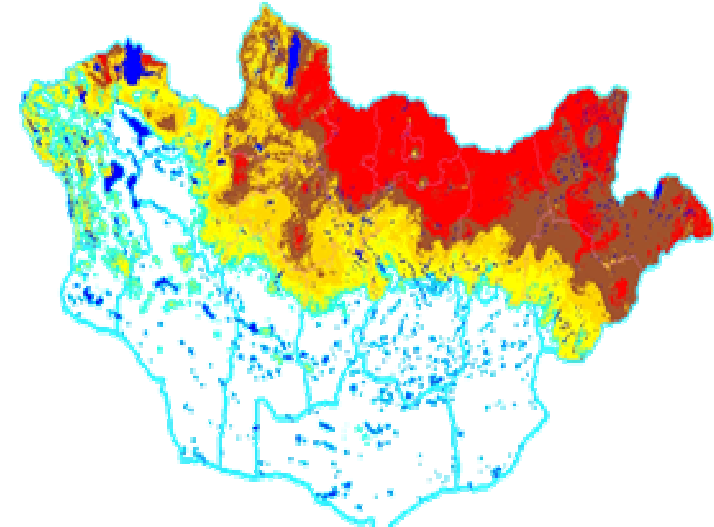


- Analysieren, Beobachten, Entdecken, Überwachen
- z.B. in der Umwelt durch die Überwachung von:
 - Tornados
 - waldbrandgefährdeten Gebieten

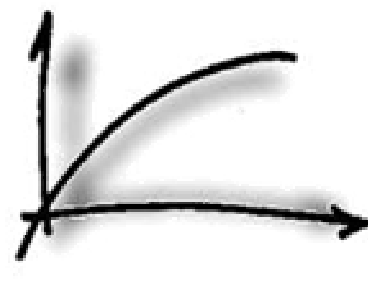


Grundlagen

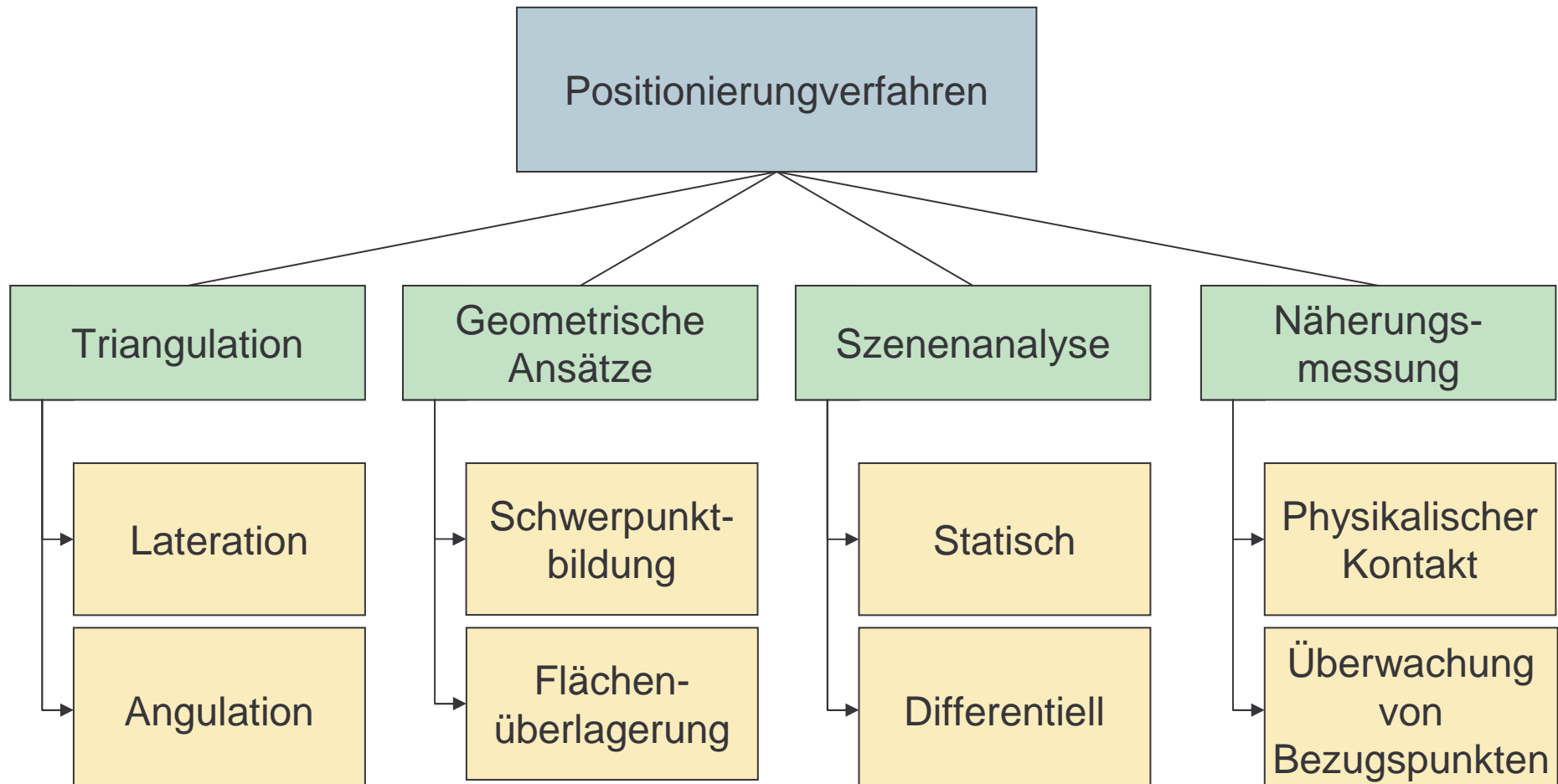
- Warum Positionsbestimmung?
 - Zuordnung: Messung ↔ Ort
 - Effizientes Routing
 - Selbstkonfigurierbarkeit
- Probleme:
 - Zufällige Verteilung der Knoten
 - GPS nicht auf jedem Knoten installierbar
- Lösung:
 - Wenige Knoten mit GPS → Beacons
 - Restliche Knoten → Unbekannte
 - Positionsbestimmung



Mathematische Methoden zur Positionsbestimmung



Einordnung



Triangulation

Die Triangulation ist ein Positionsbestimmungsverfahren, bei dem die Punkte nur aus Winkelmessungen zwischen den Punkten ermittelt werden.

Gleichungen für 3 Knoten im 2D-Fall:

$$\frac{a}{\sin(\alpha)} = \frac{b}{\sin(\beta)} = \frac{c}{\sin(\gamma)}$$

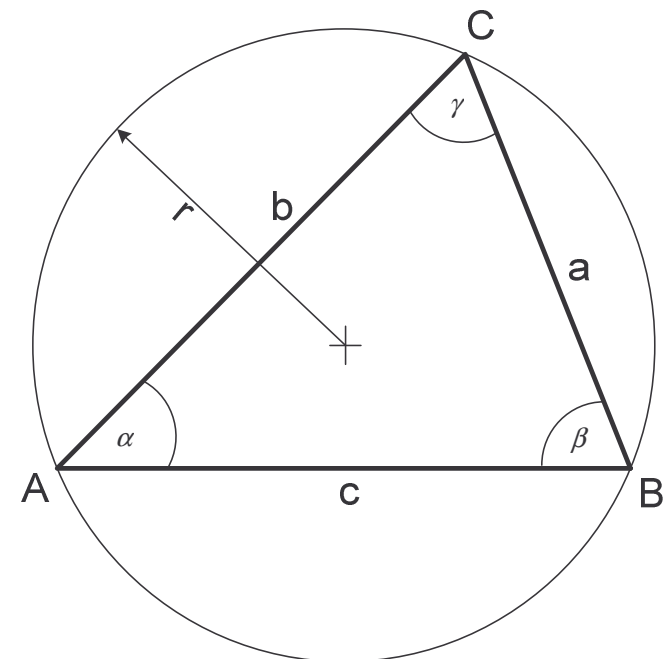
$$a^2 = b^2 + c^2 - 2 \cdot b \cdot c \cdot \cos(\alpha)$$

$$b^2 = a^2 + c^2 - 2 \cdot a \cdot c \cdot \cos(\beta)$$

$$c^2 = a^2 + b^2 - 2 \cdot a \cdot b \cdot \cos(\gamma)$$

Fazit:

- 3 Messwerte (α, β, γ) erforderlich
- 1 Position (A, B oder C) sinnvoll
- Maßstab
- Gleichungssystem eindeutig bestimmbar



Trilateration

Die Trilateration ist ein Positionsbestimmungsverfahren, bei dem die Punkte nur durch Streckenmessungen bestimmt werden.

Gleichungen für 3 Knoten im 2D-Fall:

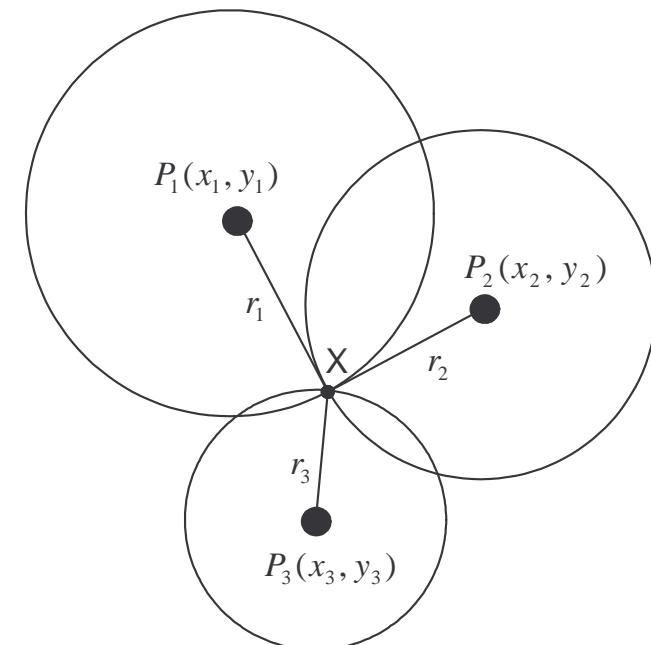
$$\sqrt{(x_1 - x)^2 + (y_1 - y)^2} = |\vec{r}_1|$$

$$\sqrt{(x_2 - x)^2 + (y_2 - y)^2} = |\vec{r}_2|$$

$$\sqrt{(x_3 - x)^2 + (y_3 - y)^2} = |\vec{r}_3|$$

Fazit:

- 3 Messwerte ($r_1 \dots r_3$) erforderlich
- 3 Positionen ($P_1 \dots P_3$) gegeben
- 1 absolute Position sinnvoll
- Gleichungssystem ist eindeutig bestimmbar



Besonderheiten in Sensornetzwerken

Sensornetzwerk mit vielen Knoten

- Alle Knoten erhalten Informationen über Nachbarn, z.B. durch Distanzmessungen
- Jeder Knoten benötigt lediglich eigene Position (2 Werte)

- Anzahl Eingangsdaten>>Anzahl Ausgangsdaten
- Überbestimmtes Gleichungssystem



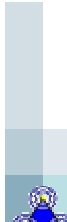
Gleichungssystem explizit nicht lösbar!



Gleichungssystem nur näherungsweise lösbar!



Ausgleichsrechnung



Überbestimmte Trilateration (1 aus 4)

Sensornetzwerk mit 5 Knoten

Geg:

- 4 bekannte Nachbarn $P_k(x_k, y_k)$ mit $k=A, B, C, D$
- Strecken r_{ij} zwischen P_k und P_i

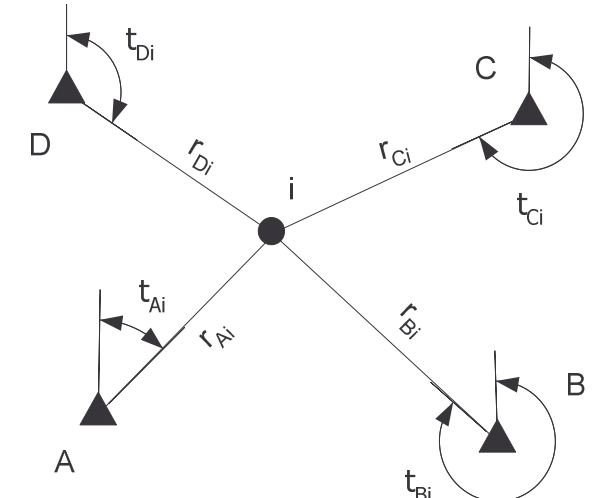
Ges:

- Unbekannte Position $P_i(x_i, y_i)$

Basisbeziehungen

$$r_{ij} = \sqrt{(x_j - x_i)^2 + (y_j - y_i)^2}$$

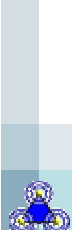
$$b_{ij} = r_{ij_{measured}} - r_{ij_{determined}}$$



Lösungsansatz

- Matrix aus Gleichungen aufstellen

$$A \cdot x = b \quad \Rightarrow \quad x = (A^T A)^{-1} A^T b$$



Überbestimmte Trilateration (n aus m)

Sensornetzwerk mit m+n Knoten:

- Gleichzeitige Berechnung von mehreren Positionen
- Gegenseitige Abhängigkeit zwischen unbekannten Positionen
- Redundanzausnutzung

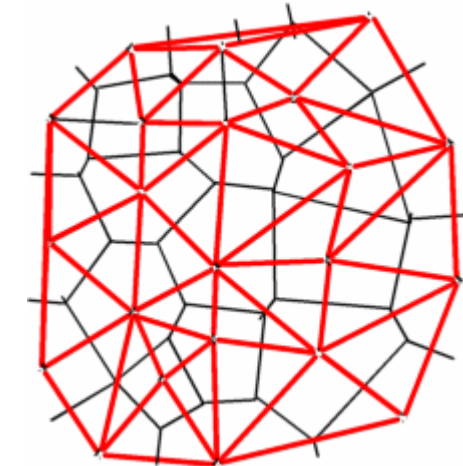
Ansatz:

- Lösungsformel erweitern

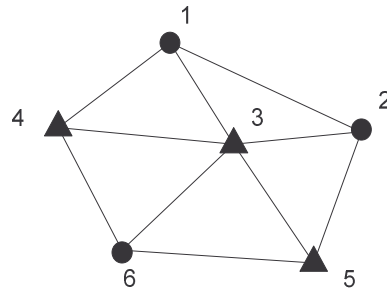
$$x = (A^T A)^{-1} A^T b$$

Problem:

- Zentrale Berechnung
- Berechnung wird noch komplexer
- Zeit- und kommunikationsaufwändig



Überbestimmte Trilateration (n aus m)

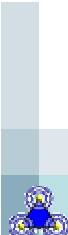


- : Knoten mit bekannter Position
- ▲ : Knoten mit unbekannter Position

Resultierende Matrix:

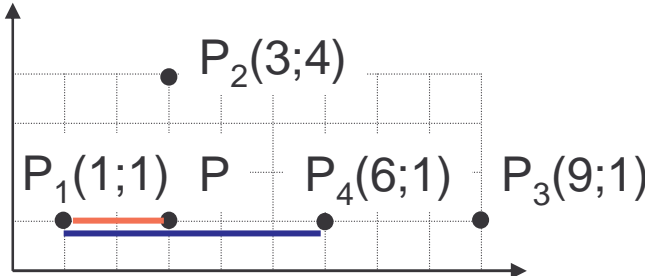
- x=Verbindung
(symbolisiert math. Term)
- 0=keine Verbindung
- Riesige Matrix
- Matrix symmetrisch dünn besetzt!

	X_1	Y_1	X_2	Y_2	X_3	Y_3	X_4	Y_4	X_5	Y_5	X_6	Y_6
X_1	x	x	x	x	x	x	x	x	0	0	0	0
Y_1		x	x	x	x	x	x	x	0	0	0	0
X_2			x	x	x	x	0	0	x	x	0	0
y_2				x	x	x	0	0	x	x	0	0
X_3					x	x	x	x	x	x	x	x
Y_3						x	x	x	x	x	x	x
X_4							x	x	0	0	x	x
y_4								x	0	0	x	x
X_5									x	x	x	x
Y_5										x	x	x
X_6										x	x	x
Y_6											x	x



Beispiel:

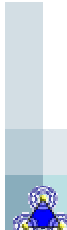
Geg.:



Ges: Position von P

- 4 Messwerte ($r_1 \dots r_4$)
- 4 Knotenpositionen ($x_1 \dots x_4, y_1 \dots y_3$)
- 2 Unbekannte (x, y)
- r_i = Abstand von P_i zu P
- d_{i1} = Abstand von P_i zu P_1

P_i	x_i	y_i	r_i	d_{i1}
1	1	1	2	0
2	3	4	3	$\sqrt{13}$
3	9	1	6	8
4	6	1	4	5



Herleitung des Gleichungssystems

$$\sqrt{(x - x_i)^2 + (y - y_i)^2} = |\vec{r}_i|$$

$$(x - x_i)^2 + (y - y_i)^2 = r_i^2$$

$$(x - x_j + x_j - x_i)^2 + \dots = r_i^2$$

$$((x - x_j) - (x_i - x_j))^2 + \dots = r_i^2$$

$$(x - x_j)^2 - 2(x - x_j)(x_i - x_j) + (x_j - x_i)^2 + \dots = r_i^2$$

Abstandsgleichung

P_j(x_j, y_j)=bekannter Referenzpunkt

+x_j- x_i

Klammern setzen: a=x-x_j, b=x_j-x_i

Bin. Formeln: (a-b)²=a²-2ab+b²

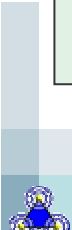
$$(x - x_j)(x_i - x_j) + \dots = -\frac{r_i^2 - (x - x_j)^2 - (x_j - x_i)^2 + \dots}{2}$$

$$r_j^2 = (x - x_j)^2 + (y - y_j)^2$$

$$d_{ij}^2 = (x_j - x_i)^2 + (y_j - y_i)^2$$



$$\dots = \frac{r_j^2 - r_i^2 + d_{ij}^2}{2}$$



Herleitung des Gleichungssystems II

Allgemeine Form:	$(x - x_j)(x_i - x_j) + (y - y_j)(y_i - y_j) = \frac{r_j^2 - r_i^2 + d_{ij}^2}{2}$
Referenzpunkt j=1:	$(x - x_1)(x_i - x_1) + (y - y_1)(y_i - y_1) = \frac{r_1^2 - r_i^2 + d_{i1}^2}{2}$
Gleichungssystem für Beispiel:	$(x - x_1)(x_2 - x_1) + (y - y_1)(y_2 - y_1) = \frac{r_1^2 - r_2^2 + d_{21}^2}{2}$ $(x - x_1)(x_3 - x_1) + (y - y_1)(y_3 - y_1) = \frac{r_1^2 - r_3^2 + d_{31}^2}{2}$ $(x - x_1)(x_4 - x_1) + (y - y_1)(y_4 - y_1) = \frac{r_1^2 - r_4^2 + d_{41}^2}{2}$



Herleitung des Gleichungssystems III

Allg. Gleichung für für Beispiel:	$(x - x_1)(x_i - x_1) + (y - y_1)(y_i - y_1) = \frac{r_1^2 - r_i^2 + d_{i1}^2}{2}$
Matrixschreibweise:	$\begin{vmatrix} x_2 - x_1 & y_2 - y_1 \\ x_3 - x_1 & y_3 - y_1 \\ x_4 - x_1 & y_4 - y_1 \end{vmatrix} \cdot \begin{vmatrix} x - x_1 \\ y - y_1 \end{vmatrix} = \frac{1}{2} \begin{vmatrix} r_1^2 - r_2^2 + d_{21}^2 \\ r_1^2 - r_3^2 + d_{31}^2 \\ r_1^2 - r_4^2 + d_{41}^2 \end{vmatrix}$ $\underbrace{\qquad\qquad}_{\mathbf{A}} \cdot \underbrace{\qquad\qquad}_{\mathbf{x}} = \underbrace{\qquad\qquad}_{\mathbf{b}}$
Zu lösendes Gleichungssystem:	$\begin{vmatrix} 2 & 3 \\ 8 & 0 \\ 5 & 0 \end{vmatrix} \cdot \begin{vmatrix} x - x_1 \\ y - y_1 \end{vmatrix} = \begin{vmatrix} 4 \\ 16 \\ 10 \end{vmatrix}$



Methode der kleinsten Quadrate (MdKQ)

$$Ax = b$$

$$Ax - b = 0$$

$$r = Ax - b$$

Allg. Lösung für quadratische Matrizen mit expliziter Lösung

r=Residuenvektor für überbestimmte Gleichungssysteme

r=Ax-b muß orthogonal auf Spaltenraum von A liegen bzw. äquivalent in Nullraum A^T .

Skalarprodukt aus A^T und r gleich Null setzen, dann steht A^T senkrecht auf r.

$$A^T r = 0$$

$$A^T(Ax - b) = 0$$

$$A^T Ax - A^T b = 0$$

$$A^T Ax = A^T b$$



$$x = (A^T A)^{-1} A^T b$$

Allg. Lösungsformel für überbestimmte Gleichungssysteme



Methode der kleinsten Quadrate II

Ansatz: $x = (A^T A)^{-1} A^T b$

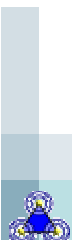
Rechenschritt	Bemerkung	Aufwand
Rang bestimmen	Gleichungssystem lösbar ?	Gleichungssystem (Gauss)
Berechnung von $A^T A$	-	Matrix-Multiplikation
Inverse bilden $(A^T A)^{-1}$	Mehrdimensionale Determinanten	n Gleichungssysteme
$(A^T A)^{-1} A^T$	-	Matrix-Multiplikation
$(A^T A)^{-1} A^T b$	-	Matrix-Multiplikation
Koordinaten extrahieren	-	n Gleichungen
Fehlerabstand	Residuenvektor	Matrix-Multiplikation



Methode der kleinsten Quadrate III

Bemerkungen:

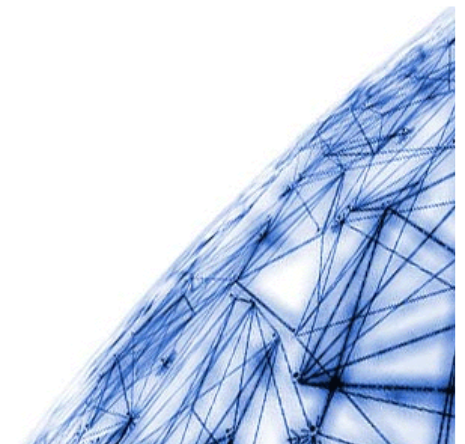
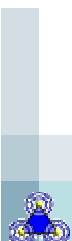
- + Berechnung nach Schema
- + Genauigkeit steigt mit Anzahl der Eingangswerte
- + Rel. geringer Speicherverbrauch ($\dim(A^T A) = n$)
- Berechnung sehr komplex
- Benötigt FPU
- Numerisch instabil (auch bei Floats)
 - Matlababweichung bei exakten Eingangswerten:
2,0 vs. 2,004
- Komplizierte Berechnung der Inversen bei großen Matrizen



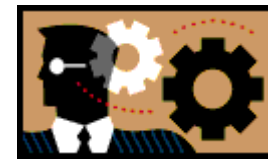
Alternativen zur MdkQ

Alternativen bzw. konvergenzverbessernde Verfahren

- Pivotisierung
- LR(LU)-Faktorisierung
- Singulärwertmethode
- Cholesky-Zerlegung
- QR-Zerlegung
- Gram-Schmidt-Verfahren
- Householder-Spiegelung
- Iterative Verfahren
 - Kalman Filter



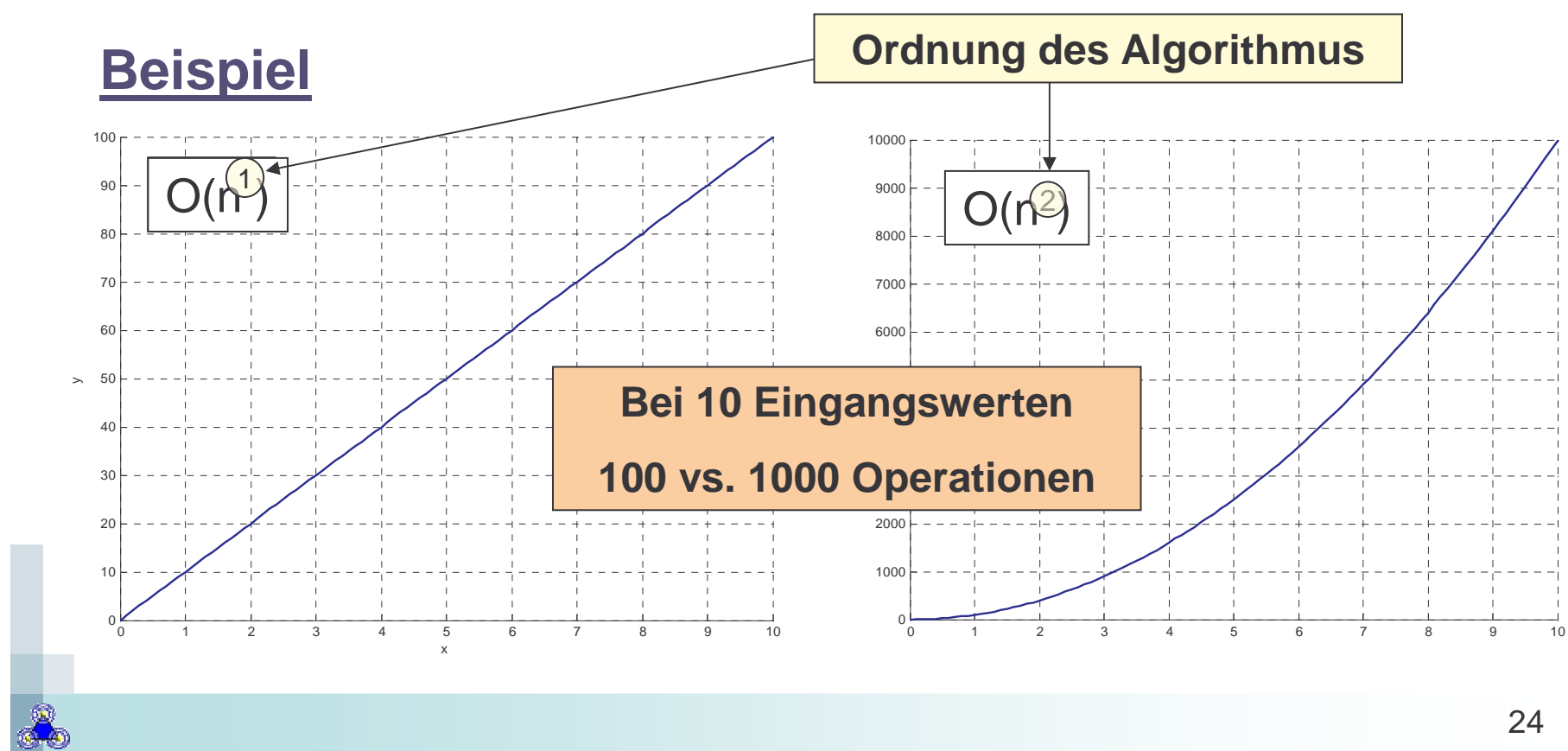
Komplexitätsbetrachtungen und Energieverbrauch



Komplexität numerischer Algorithmen

- Geschwindigkeitsangabe von Algorithmen
- Gibt die Anzahl der Operationen eines Algorithmus in Abhängigkeit der Eingangsparameter n an
- Formelzeichen: O (dimensionslos)

Beispiel



Berechnung der Komplexität

- Zählen aller Gleitpunktoperationen
- Wertigkeit einer Operation: 1

Addition zweier Vektoren

```
z=zeros(n,1);
for i=1:n
    z(i) = x(i) + y(i);
end
```

n Additionen

O(n)

Skalarprodukt zweier Vektoren

```
z=0;
for i=1:n
    z = z + x(i) * y(i);
end
```

n Additionen

n Multiplikationen

O=(2*n)=n

↑
Ordnungskonstante



Komplexität einzelner Verfahren

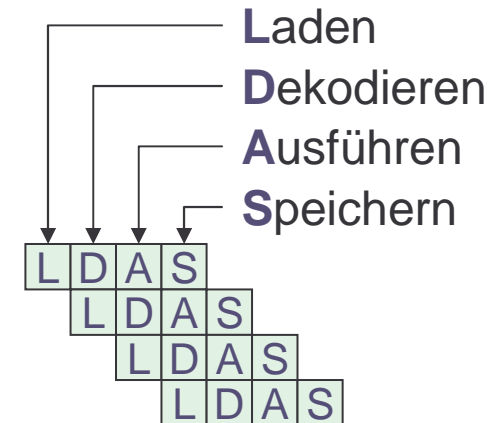
Anwendung	Operationen	Komplexität
Vektoraddition	n Additionen	$O(n)$
Skalarprodukt	$2*n$	$O(n)$
Lösen eines linearen Gleichungssystems (Gauss)	$\left(\frac{1}{2}n^2 - \frac{1}{2}n\right) + \left(\frac{1}{2}n^2 - \frac{1}{2}n\right) + (n)$	$O(n^2)$
Matrix Multiplikation	n^3+n^2	$O(n^3)$
LU-Faktorisierung	$\frac{2}{3}n^3$	$O(n^3)$



Komplexität und Leistungsverbrauch

Skalare Prozessoren

- 1 Operation pro Takt durch Pipelining
- Anzahl der Operationen bestimmt zu benötigenden Takte



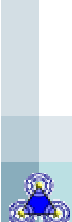
Energieverbrauch

$$P = C_L \cdot V_{DD}^2 \cdot f + P_{Leak}$$

C_L = Lastkapazität
 V_{DD} = Betriebsspannung
 f = Taktfrequenz
 n = Anzahl der Operationen

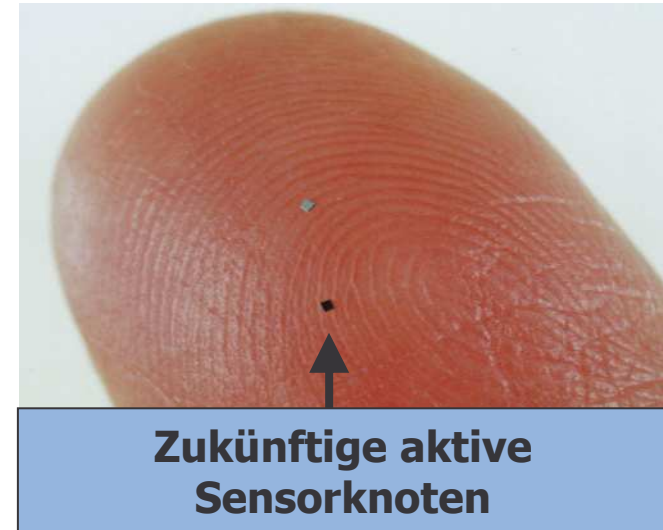
Günstigster Energieverbrauch (ohne Stalls)

$$P = C_L \cdot V_{DD}^2 \cdot n$$



Implikationen der Kommunikation

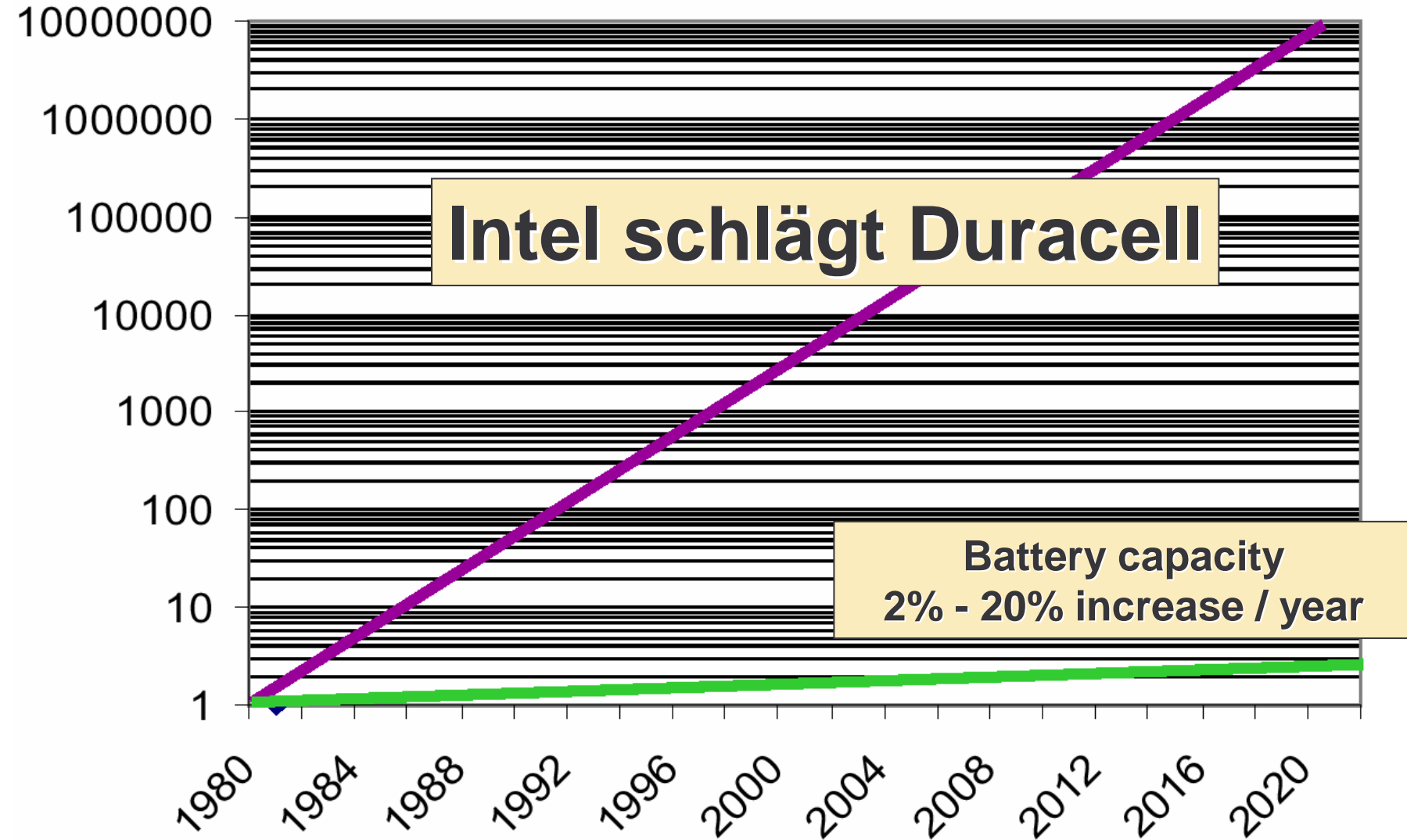
- Energieverfügbarkeit : ~1 J/mm³ einer Batterie
- Moorsch'es Gesetz für Batterien nicht absehbar
- Max. 2-20% Kapazitätserhöhung der Batterien pro Jahr



Rechnen ist ressourcenschonender als kommunizieren

Pentium 4	26,8 nJ/Operation	2,8 GHz@74,9 W
ARM7TDMI	0,06 nJ/Operation	133 MHz@8 mW
Chipcon CC1010	3,31 nJ/Operation	14,74 MHz@48mW
Atmel ATmega 128	4,1250 nJ/Operation	4 MHz@16.5 mW
Bluetooth (10 m)	90 nJ / Bit	brutto 1 MBit/s@90 mW
Bluetooth (100 m)	500 nJ / Bit	brutto 1 MBit/s@500 mW

Trends



Komplexität bei Mobilität

Geschwindigkeitsbestimmung:

- 2 Positionen
- 1 Zeitmessung

$$v_i = \frac{x_2 - x_1}{t}$$

$$O_v = (\underbrace{O(n^3) + O(n^3)}_{x_2 - x_1} \cdot \underbrace{O(n)}_t) = n^4$$

Komplexität steigt um mindestens eine Potenz!

Berechnung:

- Methode der kleinsten Quadrate
- Kalman-Filter



Komplexität in Sensornetzwerken

- ChipCon CC1010:
 - 8051 Mikrocontroller
 - Takt: Bis zu 16MHz → 16 MFlops
- Atmel ATmega 128 (Mica Mote)
 - Takt: 4 MHz → 4 MFlops



Beispiel: Prozessor mit 10 MFlops

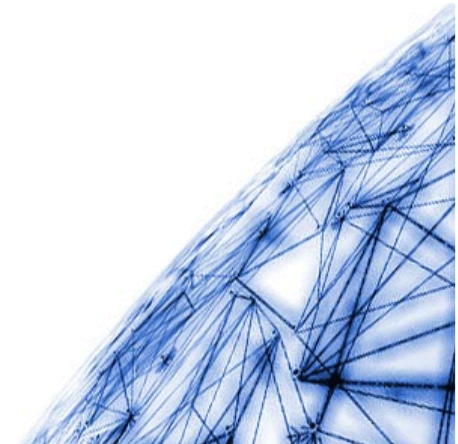
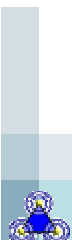
n	$O(n)$	$O(n^2)$	$O(n^3)$	$O(n^4)$
10	10^{-6} s	10^{-5} s	10^{-4} s	10^{-3} s
100	10^{-5} s	10^{-3} s	10^{-1} s	10 s
1000	10^{-4} s	10^{-1} s	10^2 s (≈ 1.7 min)	10^5 s (≈ 1.2 Tage)
10000	10^{-3} s	10^1 s	10^5 s (≈ 1.2 Tage)	10^9 s (≈ 31 Jahre)

Aber: Diese Prozessoren haben keine Floating Point Unit (FPU) !



Zusammenfassung

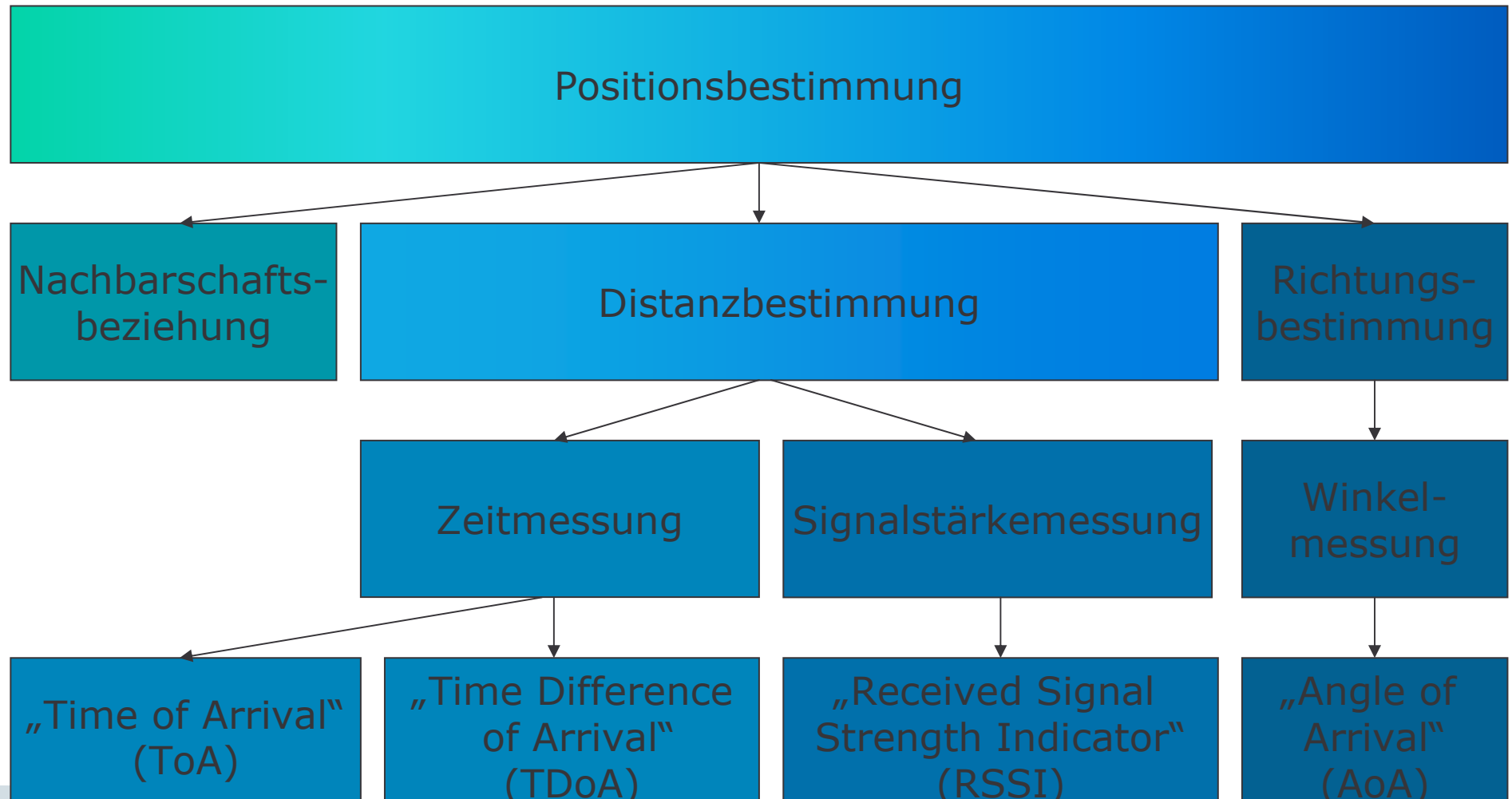
- Exakte mathematische Verfahren kaum nutzbar, weil
 - Keine FPU vorhanden
 - Komplexität der Algorithmen zu hoch
 - Hohe Kommunikation
 - Riesiger Speicherverbrauch durch Matrizen
 - Hoher Energieverbrauch



Positionierung in Sensornetzwerken



Klassifikation der Positionsbestimmung



Time of Arrival

- Synchronisation zwischen Sender und Empfänger erforderlich
- Zeitmessung erforderlich

Beispielrechnung

- Abstand zwischen 2 Sensorknoten **$d=30cm$**

$$v_0 = 300000 \frac{km}{s}$$

$$\frac{200000km}{1s} = \frac{30cm}{t_d}$$

$$v_{Luft} \approx \frac{2}{3} v_0 \approx 200000 \frac{km}{s}$$

$$t_d = 1,5^{-9} s = 1,5 ns$$

$$f_d = 2 \frac{1}{1,5^{-9} s} = 1.333 GHz$$

Fazit: Time of Arrival per Funk in Sensornetzwerken nicht anwendbar!



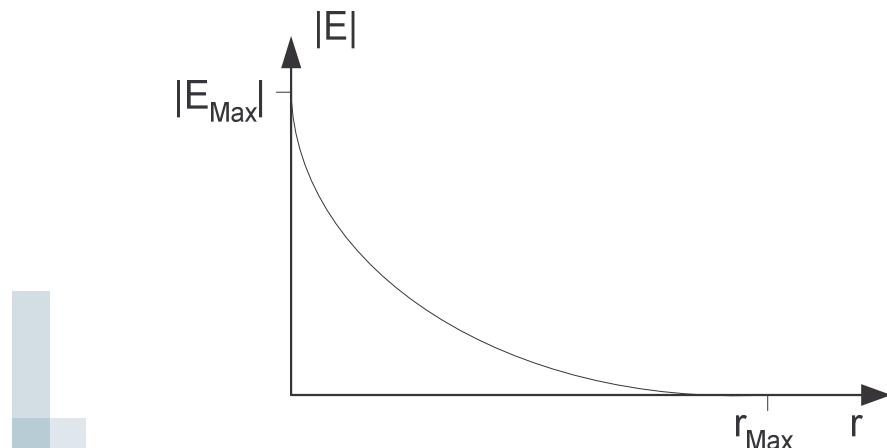
Positionsbestimmung mit RSSI (ideal)

RSSI = Received Signal Strength Indicator

Berechnung:

$$r = \begin{cases} \sqrt{\frac{r_{Max}^2 (|E_{Max}| - |E_{Measured}|)}{|E_{Max}|}} & 0 < |E_{Measured}| < |E_{Max}| \\ \text{nicht definiert} & \text{sonst} \end{cases}$$

Idealer Signalfeldstärkeverlauf (Empfang):



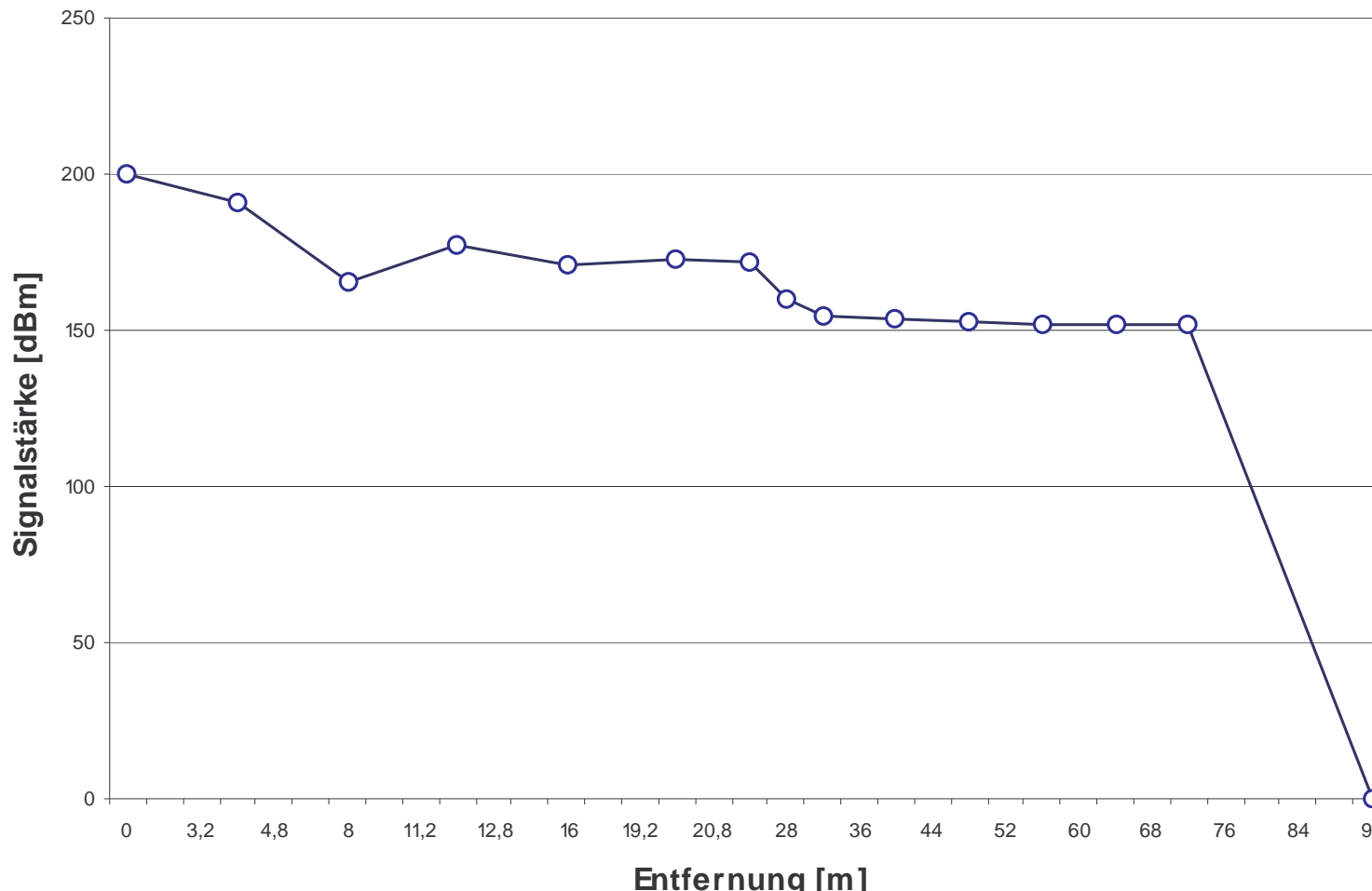
$|\vec{E}|$ = Signalfeldstärke (RSSI)

r = Entfernung zum Sender

r_{Max} = Max. Übertragungsreichweite



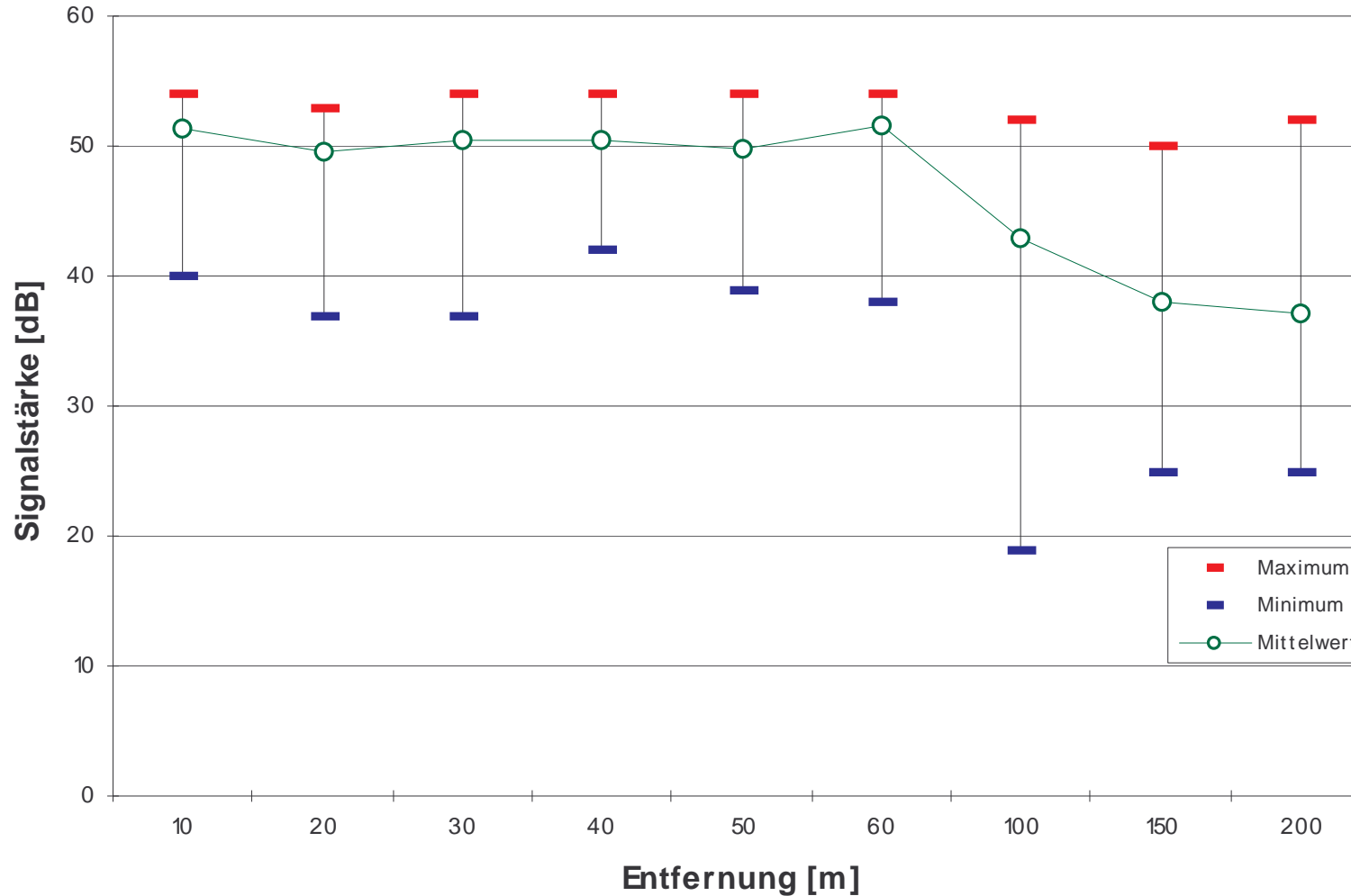
Signalstärkemessungen Chipcon



Received Signal Strength Indicator unbrauchbar !



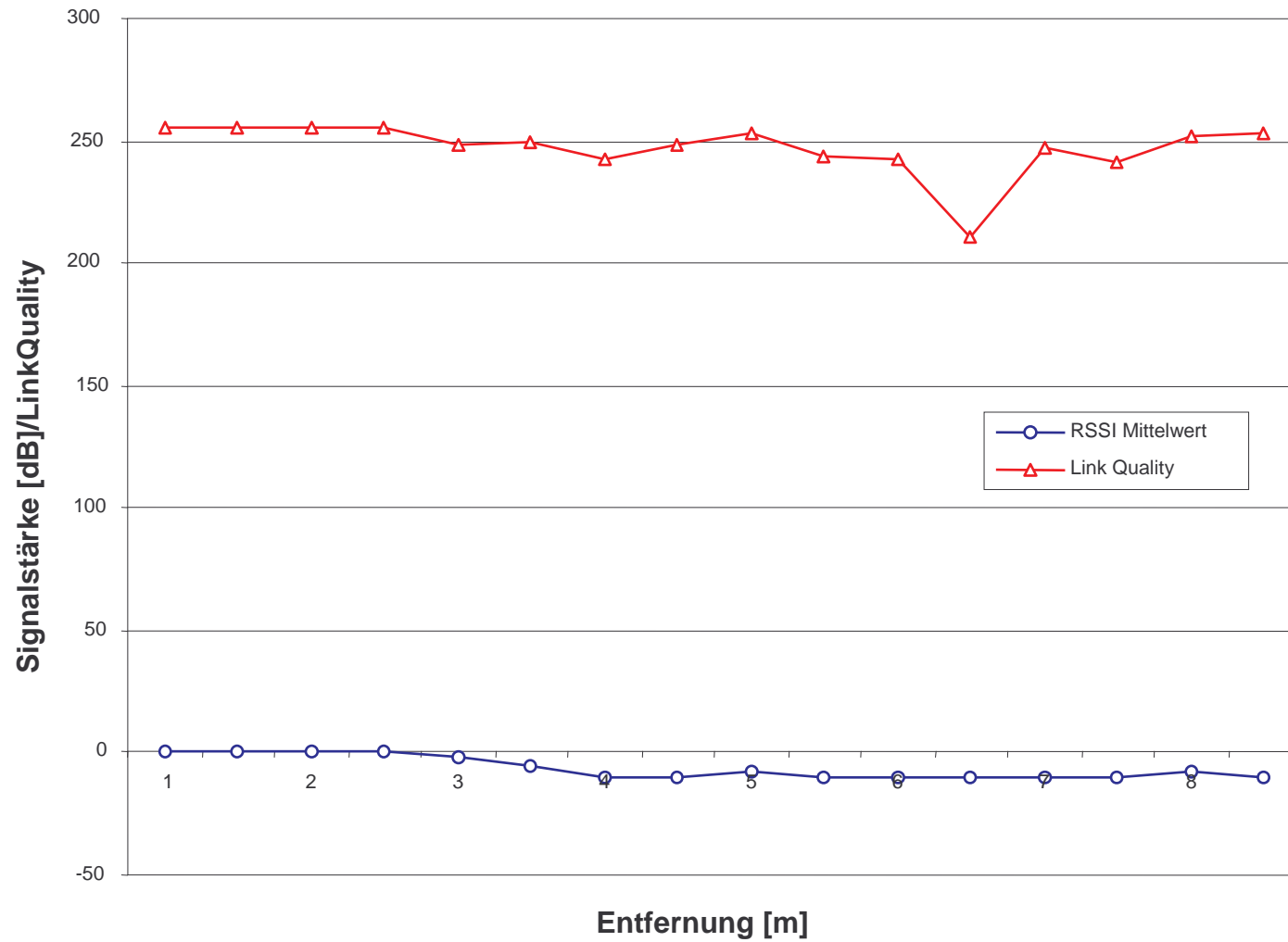
Signalfeldstärkemessungen WLAN



→ Received Signal Strength Indicator unbrauchbar !



Signalfeldstärkemessungen Bluetooth



Received Signal Strength Indicator unbrauchbar !



Bewertungskriterien

Eigenschaft	Bewertungskriterien	
	Wunsch	Realität
Genauigkeit der Eingangs-werte (z.B. RSSI)	<div style="width: 75%; background-color: #6A5ACD2; height: 1.2em;"></div>	<div style="width: 15%; background-color: #6A5ACD2; height: 1.2em;"></div>
Genauigkeit der ermittelten Positions-werte	<div style="width: 75%; background-color: #6A5ACD2; height: 1.2em;"></div>	<div style="width: 15%; background-color: #6A5ACD2; height: 1.2em;"></div> ¹
Energieverbrauch	<div style="width: 15%; background-color: #6A5ACD2; height: 1.2em;"></div>	<div style="width: 85%; background-color: #6A5ACD2; height: 1.2em;"></div> ¹
Verhalten in Extremsituationen	<div style="width: 75%; background-color: #6A5ACD2; height: 1.2em;"></div>	<div style="width: 75%; background-color: #6A5ACD2; height: 1.2em;"></div> ¹
Skalierung für große Netzwerke	<div style="width: 75%; background-color: #6A5ACD2; height: 1.2em;"></div>	<div style="width: 75%; background-color: #6A5ACD2; height: 1.2em;"></div> ¹
Anzahl Knoten mit unbestimmbarer Position	<div style="width: 75%; background-color: #6A5ACD2; height: 1.2em;"></div>	<div style="width: 85%; background-color: #6A5ACD2; height: 1.2em;"></div> ^{1,2}

1) Abhängig vom verwendeten Positionierungsverfahren

2) Abhängig von eingestellten Parametern



Hierarchie in Sensornetzwerken

- **Basisstation/Gateway:**

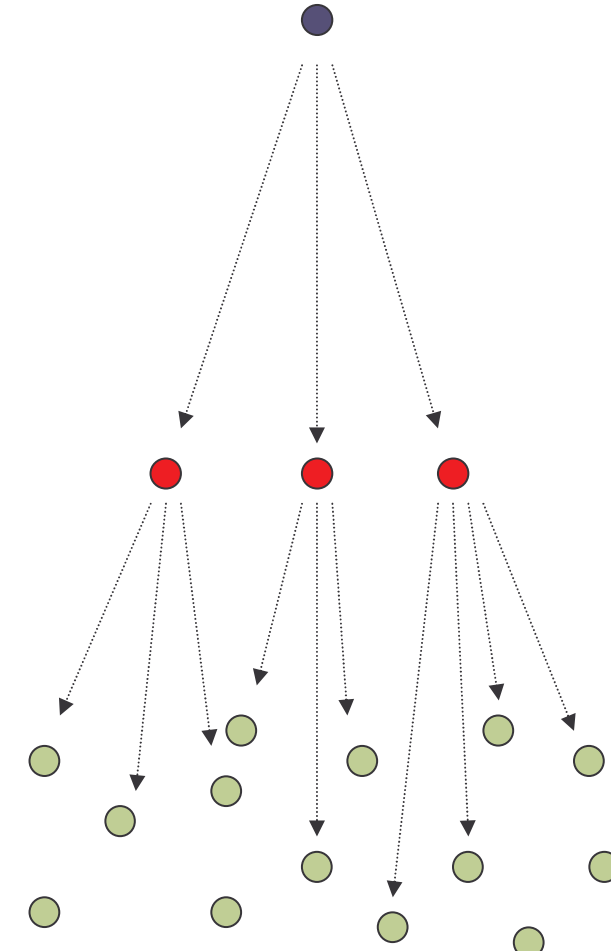
- Feste Station
- Eigene Position bekannt
- Ressourcen unkritisch

- **Beacon:**

- Drahtlose Knoten im Netzwerk
- **Eigene Position bekannt**
- Knappe Ressourcen

- **Einfache Sensorknoten:**

- Drahtlose Knoten im Netzwerk
- **Eigene Position nicht bekannt**
- Sehr knappe Ressourcen



● : Basisstation

● : Beacon

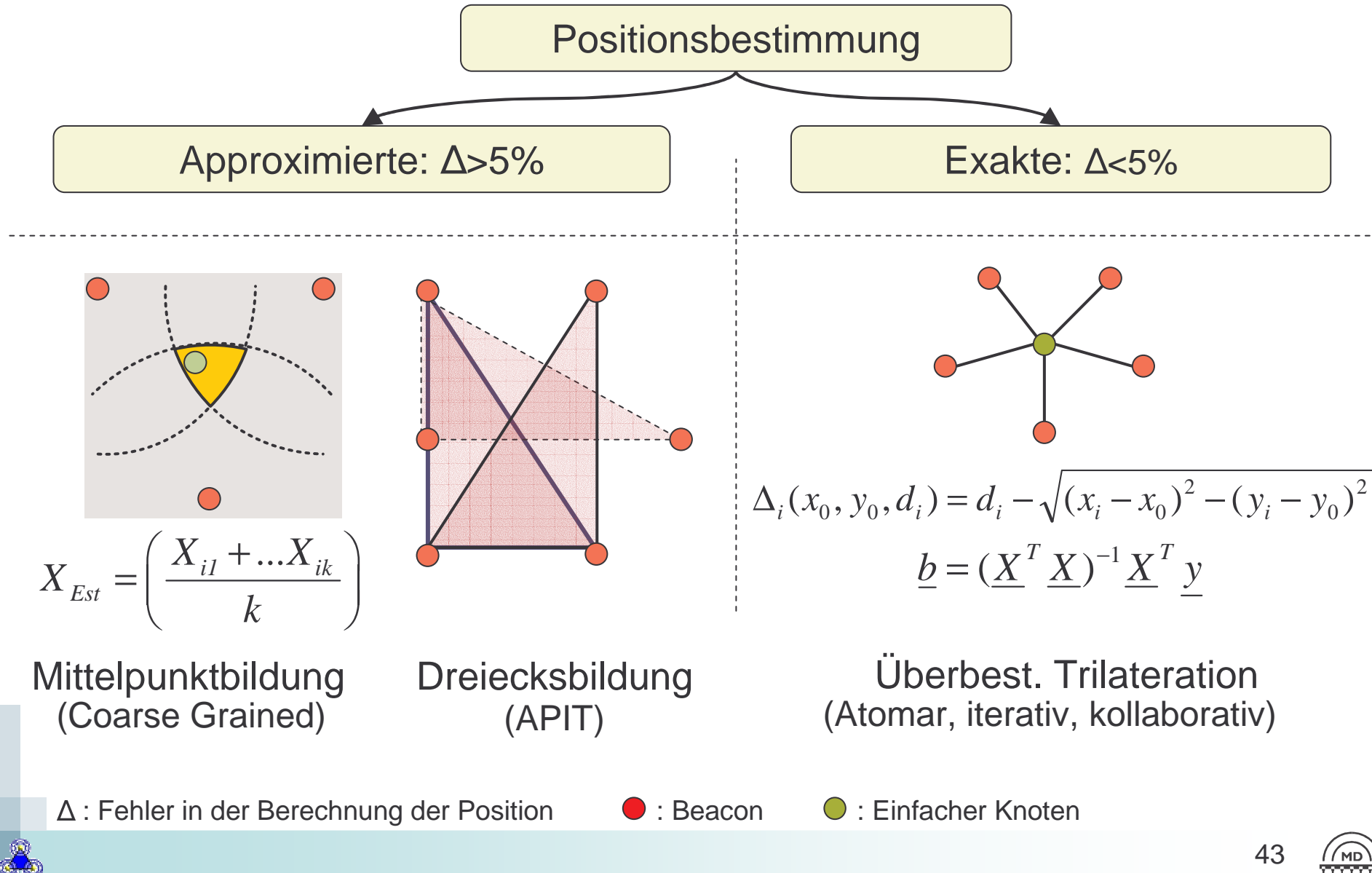
● : Einfacher Sensorknoten



Aktuelle Algorithmen



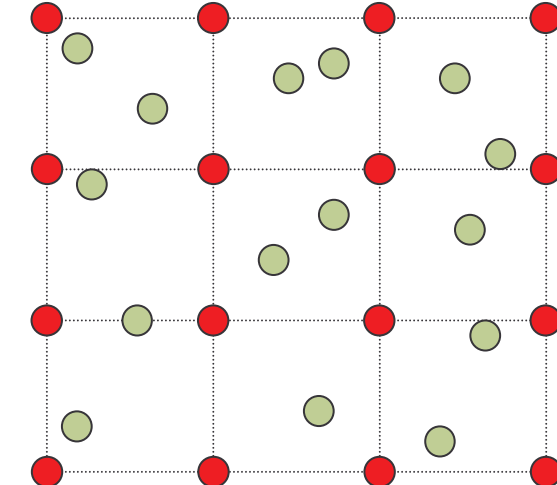
Positionierungsalgorithmen



Coarse Grained: Modell

Voraussetzungen:

- Quadratische Anordnung der Beacons
- Beacon in Gitternetzanordnung
(Infrastruktur-Verteilung)
- Kreisförmige Übertragungsreichweite
- Zufällig verteilte Sensorknoten



Ziele:

- Kleiner Positionierungsfehler
- Geringer Energieverbrauch
- Geringe Anzahl von Beacons
- Einfache Simulation und analytische Betrachtungen



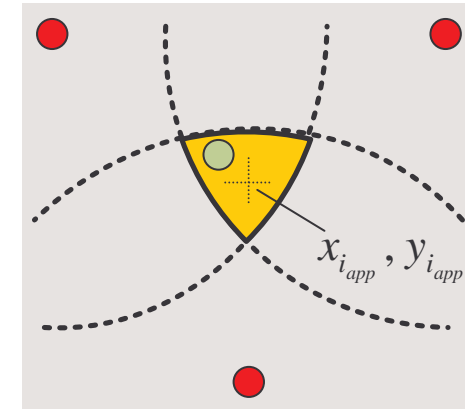
Funktionsweise: Coarse Grained (CGL)¹

Positionsbestimmung:

- Knoten empfängt Nachrichten mit Positionen von n verschiedenen Beacons
- Positionsberechnung durch einfache Mittelpunktbildung
- Sensorknoten kann nur in Bereich  liegen, der von allen Beacons erreicht wird

Vorteile:

- Keine RSSI Werte
- Keine Kommunikation durch einfache Knoten (nur Empfang)
- Einfache Berechnung



$$x_{i_{app}}, y_{i_{app}} = \left(\frac{1}{n} \sum_{k=1}^n x_{B_k}, \frac{1}{n} \sum_{k=1}^n y_{B_k} \right)$$

 : Beacon  : Einfacher Knoten
 : Zielgebiet, in dem Knoten liegt
 : Übertragungsreichweite der Beacons



¹⁾ N. Bulusu, et. al.: „GPS-less Low Cost Outdoor Localization For Very Small Devices“

Positionierungsfehler in CGL

Positionierungsfehler:

- Distanz zwischen bestimmter Position und wahrer Position

$$f_i(x, y) = \sqrt{(x_{i_{app}} - x_{i_a})^2 + (y_{i_{app}} - y_{i_a})^2}$$

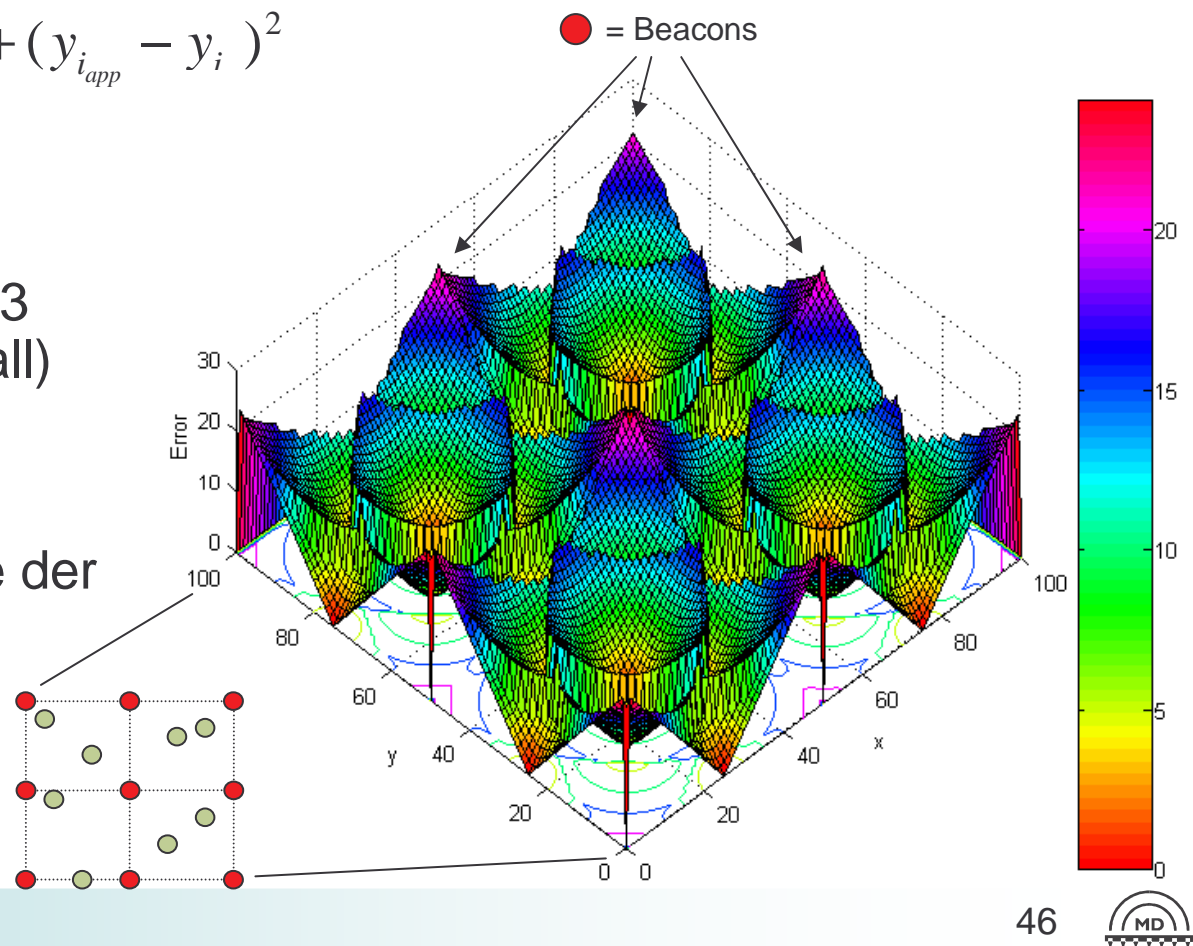
$x_{i_{app}}, y_{i_{app}}$ = Bestimmte Koordinaten von Knoten i

x_{i_a}, y_{i_a} = Exakte Koordinaten von Knoten i

f_i = Positionierungsfehler von Knoten i

Fehlerverlauf:

- Gitteranordnung von 3x3 Beacons (Infrastrukturfall)
- Feldbreite 100x100
- 101x101 Sensorknoten
- Übertragungsreichweite der Beacons $r=50$



Grenzwertbetrachtungen

Positionierungsfehler maximal, wenn Übertragungsreichweite r der Beacons:

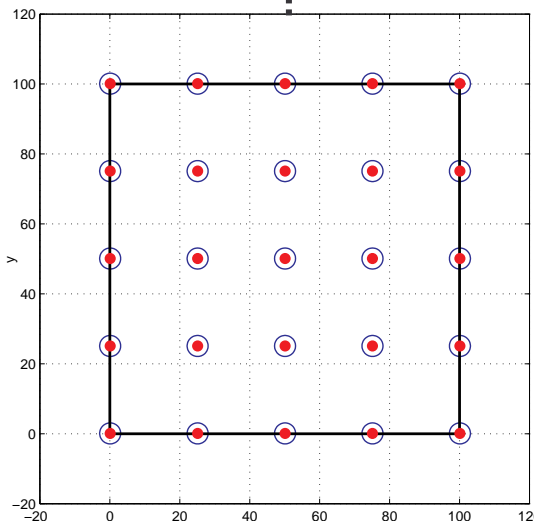
$$r \rightarrow 0$$

- Sensorknoten empfangen keine Beaconpositionen
- Keine Positionsbestimmung möglich (Unbekannte maximal)

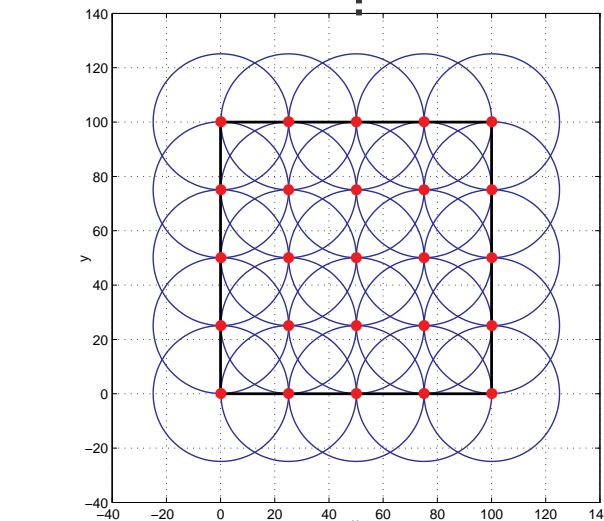
$$r \gg \text{Felddiagonale}$$

- Alle Sensorknoten empfangen dieselben Beaconpositionen
- Alle Sensorknoten ermitteln gleichen Positionswert (Unbekannte = 0)

Gesucht ist die optimale Übertragungsreichweite der Beacons, bei die Anzahl der Unbekannten null und der Positionierungsfehler minimal ist.

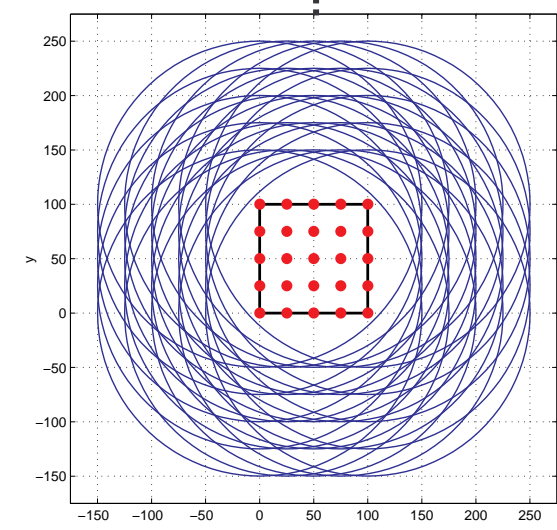


○ : Übertragungsreichweite



□ : Sensornetzwerk

● : Beacon



Feldbreite: 100x100

47

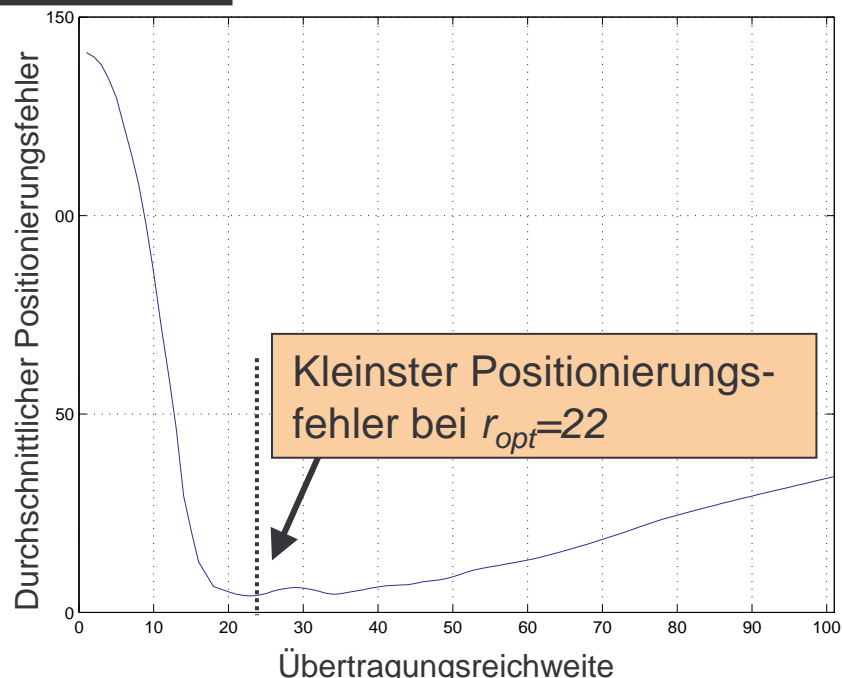
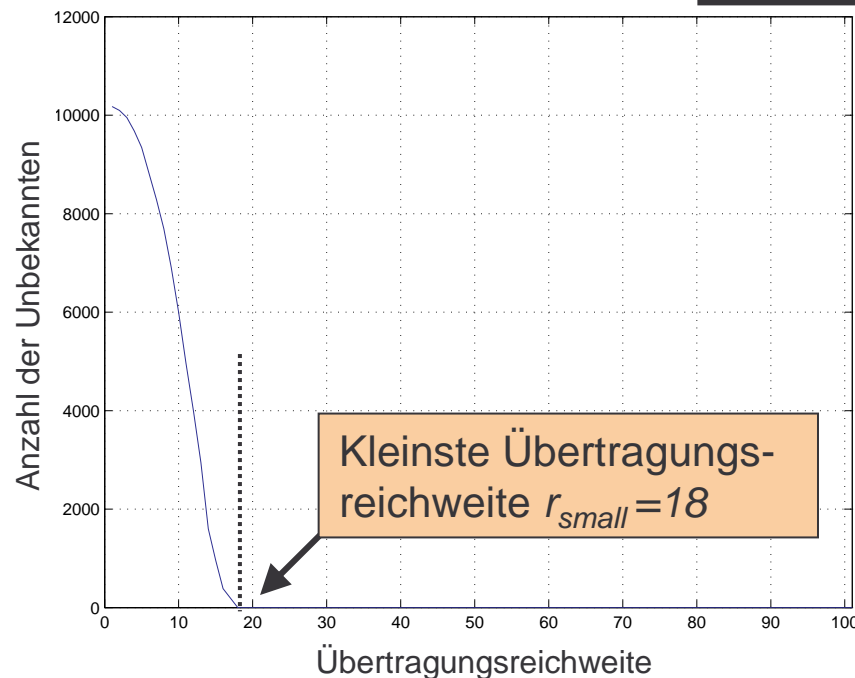


Grafische Lösung

Erster Ansatz zur Minimierung des Energieverbrauchs:

Ermittlung der kleinsten Übertragungsreichweite r_{small} bei der die Anzahl der Unbekannten null ist.

Aber: Positionierungsfehler nicht minimal!



Power-Error Produkt (PEP)

Energiebetrachtungen (ideal):

$$E_{Send} = E_{Init} + mE_{Dyn}$$

$$E_{Dyn} = E_{Bit} \cdot \left(\frac{4 \cdot \pi \cdot r}{\lambda} \right)^2$$

$$E_{Dyn} \Big|_{E_{Bit} \cdot \left(\frac{4 \pi}{\lambda} \right)^2 = 1} = r^2$$

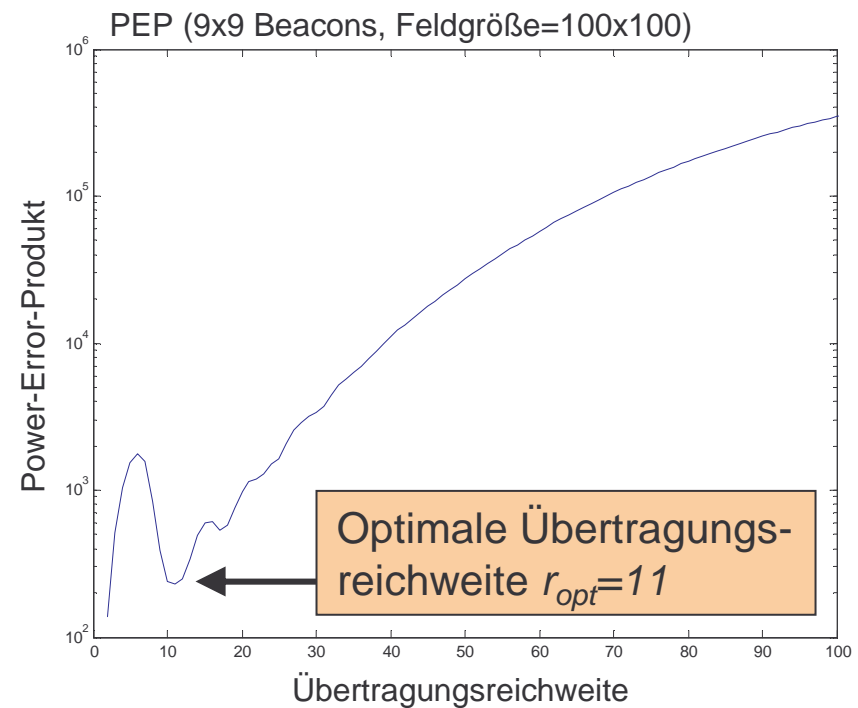
m	= Anzahl der zu übertragenden Bits
E_{Init}	= Initialisierungsenergie des Transmitters
E_{Dyn}	= Übertragungsenergie für ein Bit
λ	= Wellenlänge
r	= Übertragungsreichweite der Beacons
PEP	= Power-Error-Produkt
L	= Anzahl der Sensorknoten im Netzwerk
r	= Distanz
f_i	= Positionierungsfehler in einem Sensorknoten
$f_{l_{mean}}$	= Durchschnittlicher Positionierungsfehler

Power-Error-Produkt:

$$PEP = E_{Dyn} \cdot f_{l_{mean}}$$

$$= r^2 \cdot \frac{\sum_{i=1}^l f_i}{l}$$

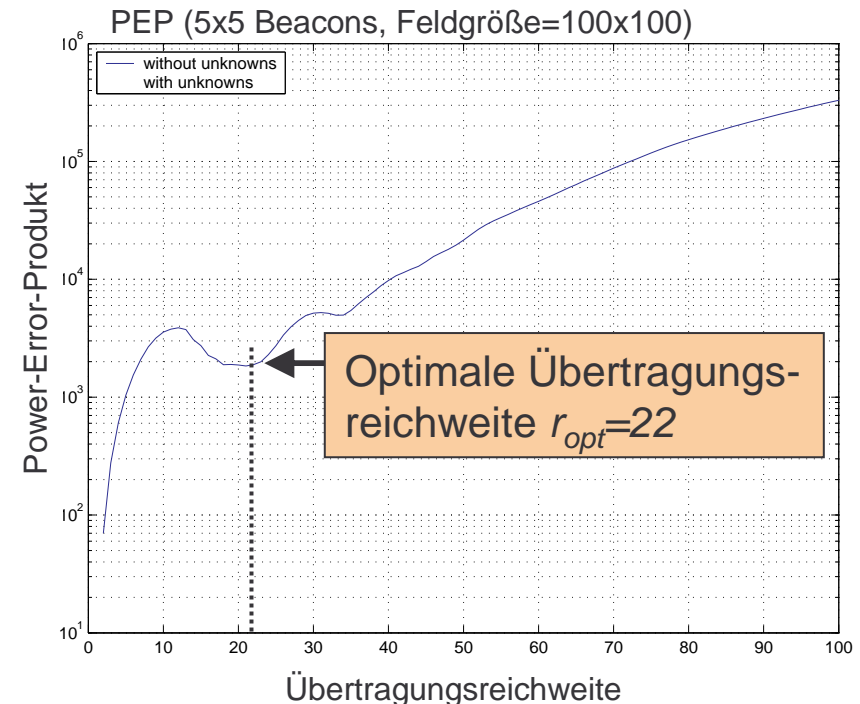
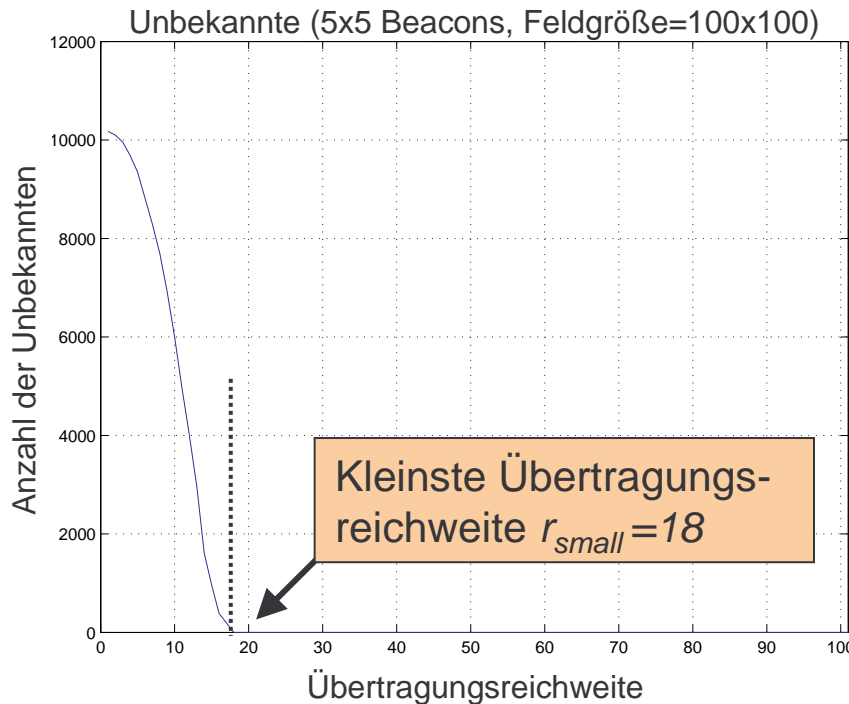
Performance-Indikator für Optimierungsproblem aus Übertragungsreichweite, Unbekannten und Positionierungsfehler



Graphical Solution II

Bestimmung der optimalen Übertragungsreichweite:

- Ermittlung von r_{small} für Unbekannte=0
- Lokalisieren des PEP-Minimums für $r_{small} \leq r_{opt}$ (hier: $18 \leq 22$)



Weitere Abhängigkeiten

Erkenntnis:

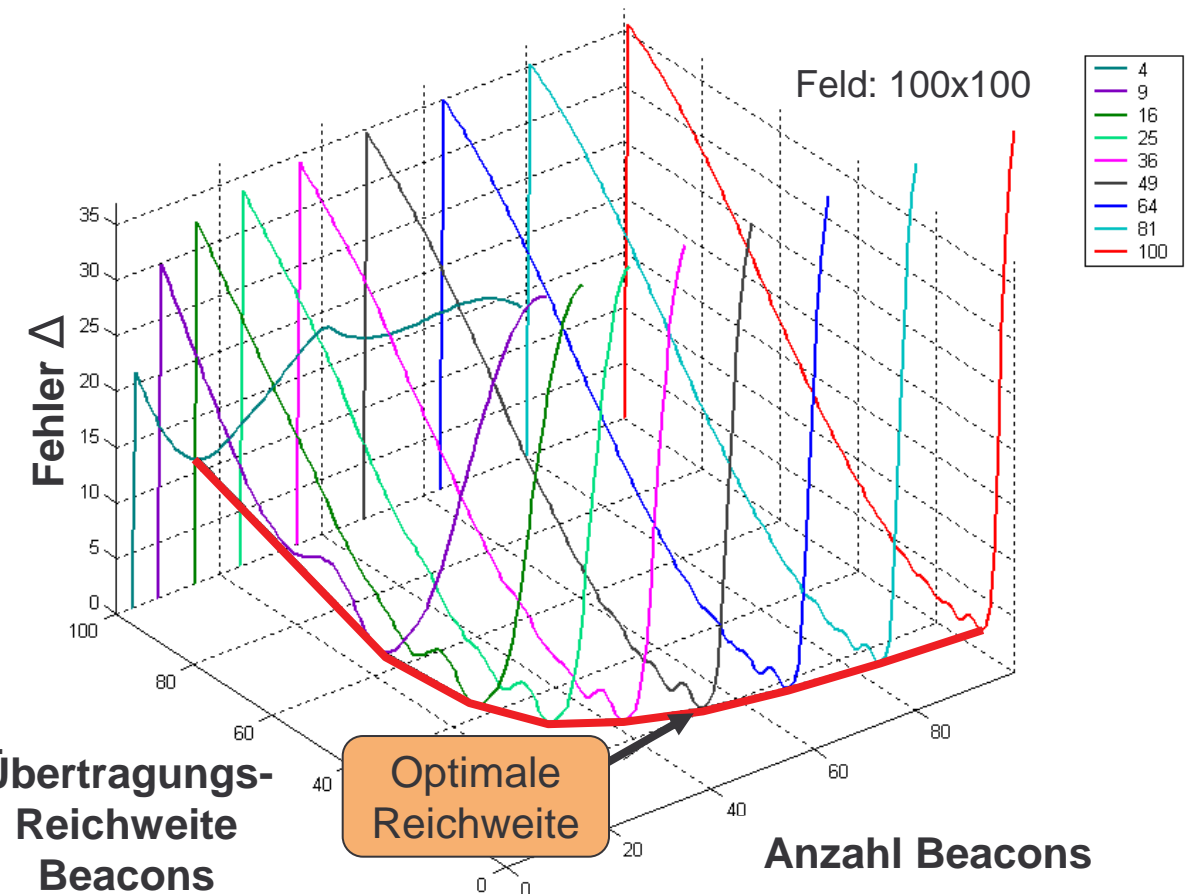
Optimale Übertragungsreichweite ist ebenfalls abhängig von der Anzahl der Beacons

Optimalkriterium

$$\text{ÜRW}_{\text{Opt}} = f(\Delta, \# \text{Beacons})$$

Anwendung

Energieminimierung



Distanz zwischen Beacons

Definitionen:

d = Distanz zwischen zwei Beacons

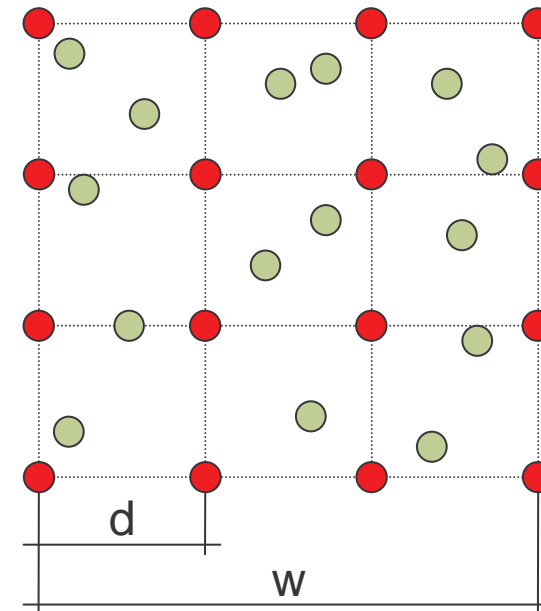
w = Ausdehnung des Sensornetzwerkes

n = Anzahl der Beacons

Gleichung 1:

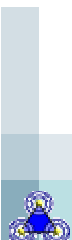
$$d = \frac{w}{\sqrt{n} - 1}$$

Sensornetzwerk ($w=150$, $n=16$)



Beispiel:

$$d = \frac{150}{\sqrt{16}-1} = \frac{150}{3} = 50$$



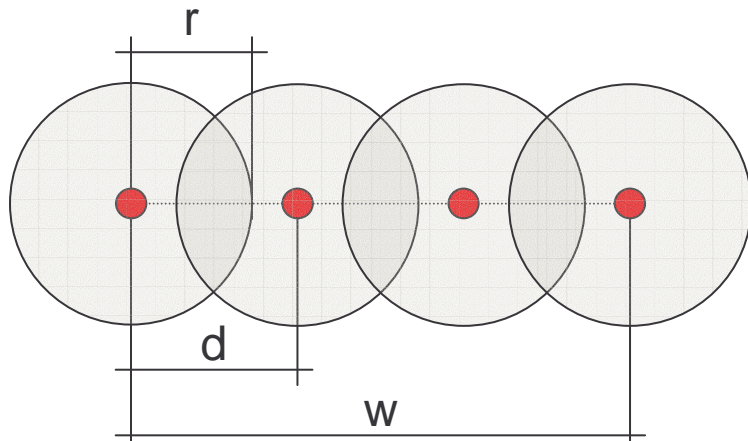
● : Beacon

● : Sensorknoten

Granularität

Granularität:

- Verhältnis zwischen Übertragungsreichweite der Beacons r und der Distanz d
- Granularität ist unabhängig von
 - Ausdehnung des Sensornetzwerkes w
 - Anzahl der Beacons n



d = Distanz zwischen
zwei Beacons

w = Ausdehnung

r = Übertragungsreichweite

G = Granularität

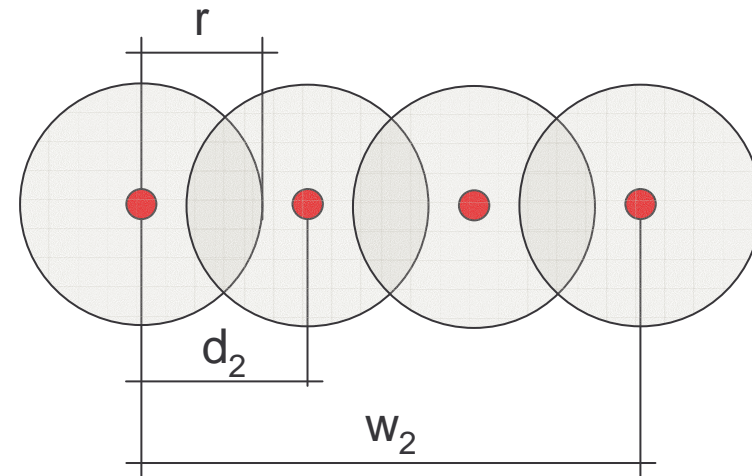
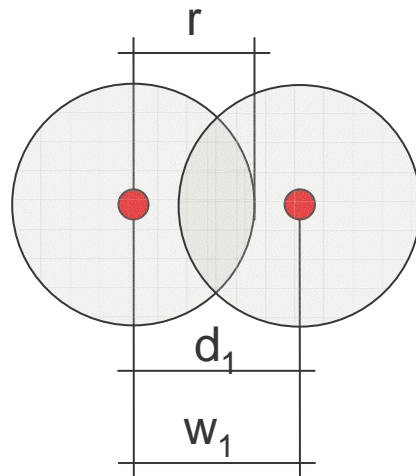
○ = Übertragungsreichweite

● = Beacon

Gleichung 2: $G = \frac{r}{d}$

Skalierung

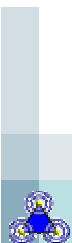
Ist die Granularität G wirklich unabhängig von der Feldgröße und der Anzahl der Beacons?



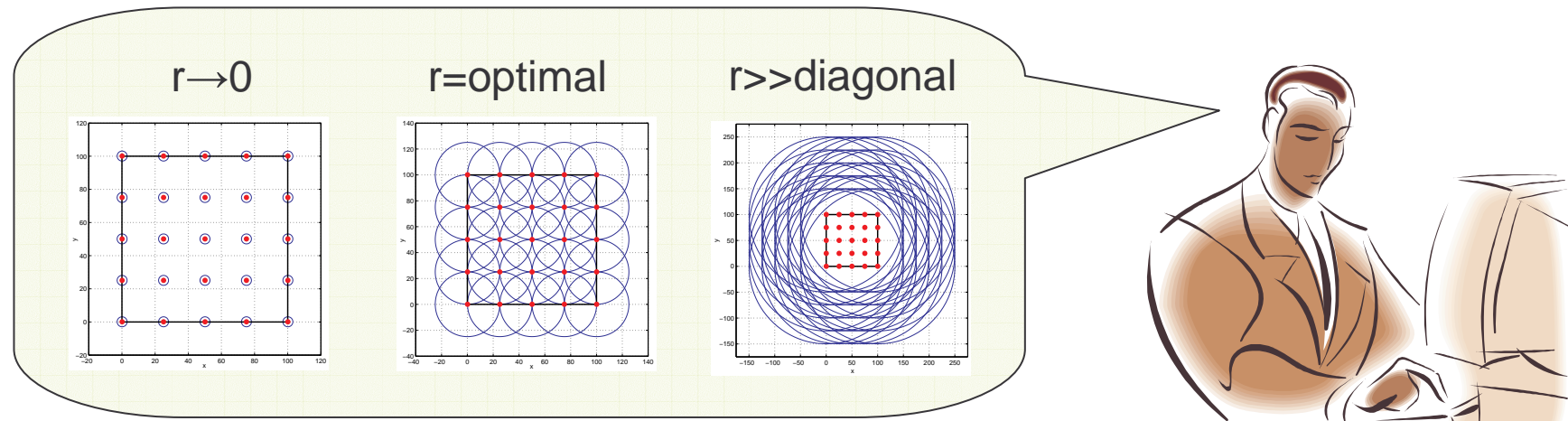
$$\begin{aligned}d_1 &= d_2 \\r &= r \\n_1 &= 4 \\n_2 &= 16\end{aligned}$$

$$G = \frac{r}{d_i}$$

G ist unabhängig von
der Feldgröße w und
der Anzahl der
Beacons n !



Optimale Granularität



Δ = hoch
 G = niedrig

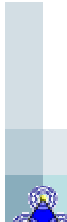
Δ = niedrig
 G = optimal

Δ = hoch
 G = hoch

$$G_{opt} = \frac{r_{opt}}{d} \rightarrow \boxed{G_{opt} \text{ existiert!}}$$

Optimale Granularität:

- Unabhängig von Feldgröße w und Anzahl der Beacons n
- $G_{opt} = \text{konstant}$
- Wird benutzt, um r_{opt} zu berechnen.



Δ : Positionierungsfehler

● : Beacon

○ : Übertragungsreichweite eines Beacons

Optimale Übertragungsreichweite

Bereits eingeführt:

$$d = \frac{w}{\sqrt{n} - 1}$$

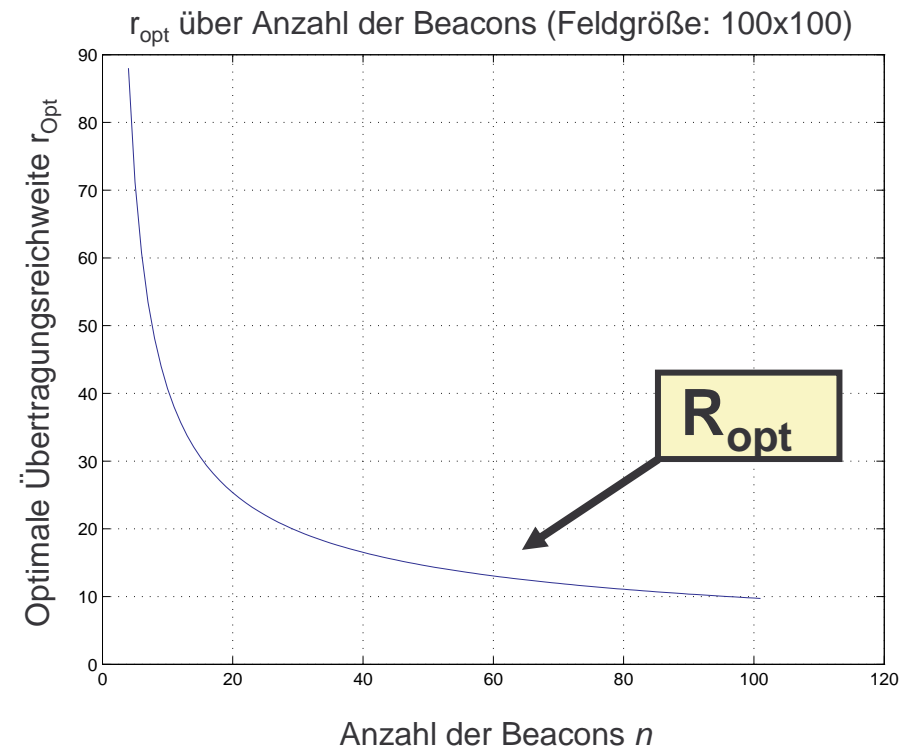
Herleitung von r_{opt} :

$$G_{opt} = \frac{r_{opt}}{d}$$

$$r_{opt} = G_{opt} d$$

$$r_{opt}(w, n) = \frac{G_{opt} \cdot w}{\sqrt{n} - 1}$$

d = Distanz zwischen Beacons
w = Feldgröße
n = Anzahl der Beacons
r = Übertragungsreichweite
G = Granularität



Bestimmung von G_{opt}

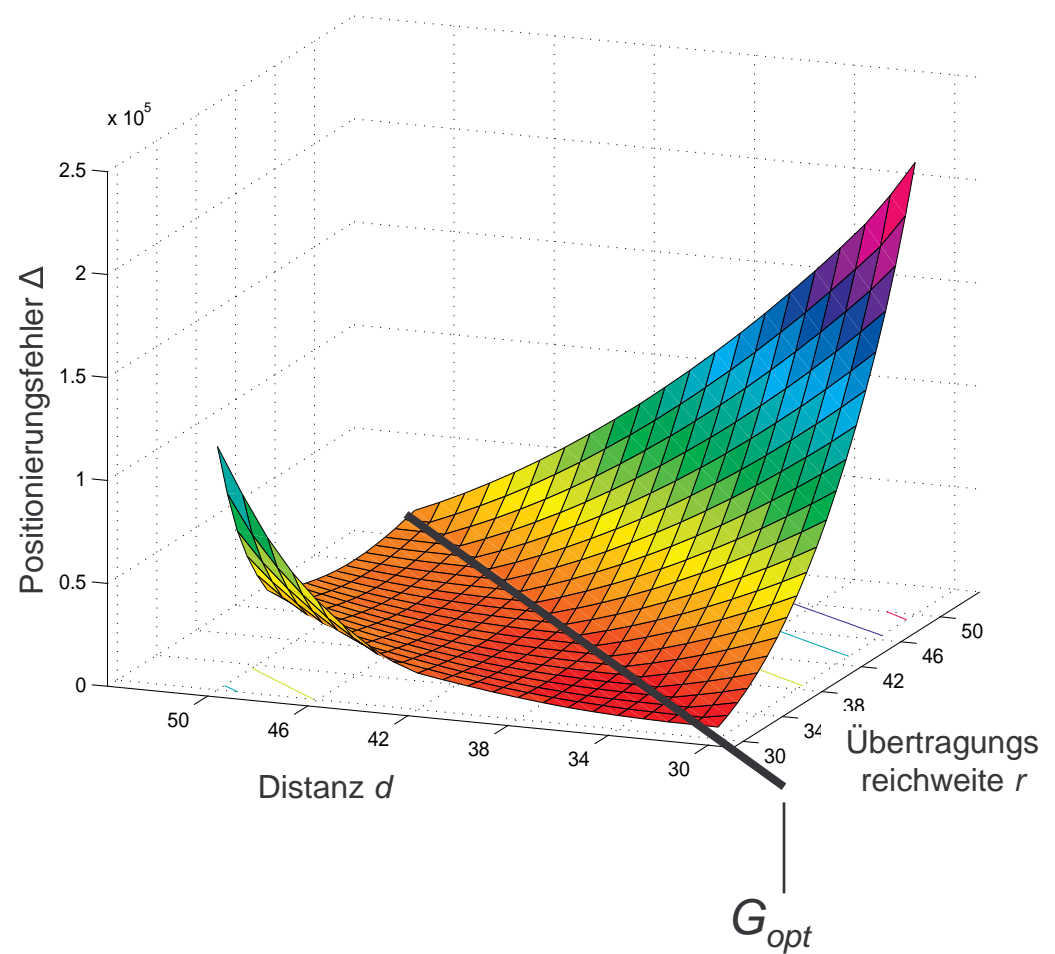
Bestimmung von G_{opt} ?

- Bestimmung des Positionierungsfehlers Δ_i durch Variation von r und d
- Bestimmung von r_{opt} an Distanzen d_i mit kleinstem Positionierungsfehler

$$G_{opt_i} = \frac{r_{opt_i}}{d_i}$$

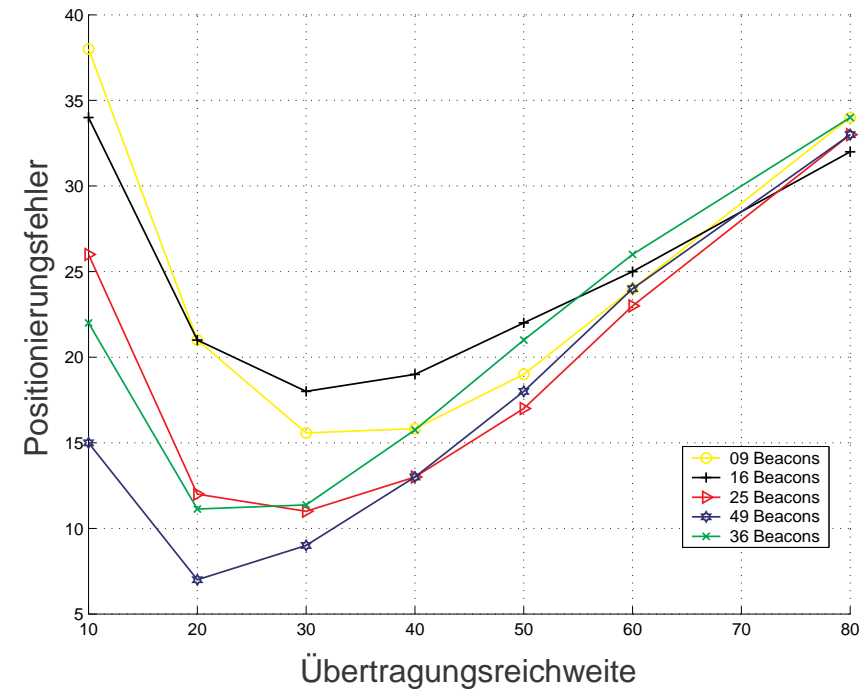
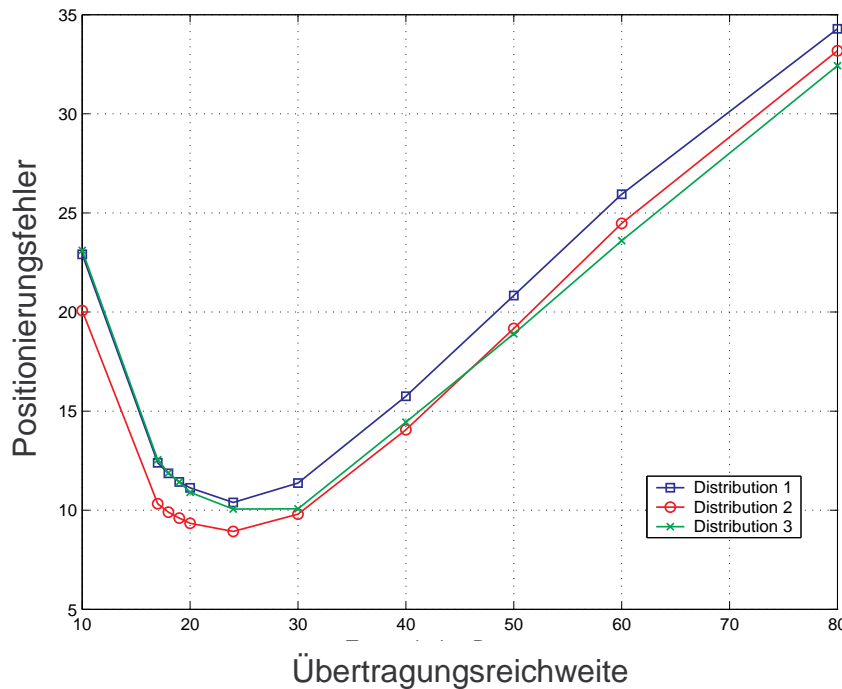
Ergebnis:

- G_{opt} is konstant !
- $G_{opt} \approx 0.86$



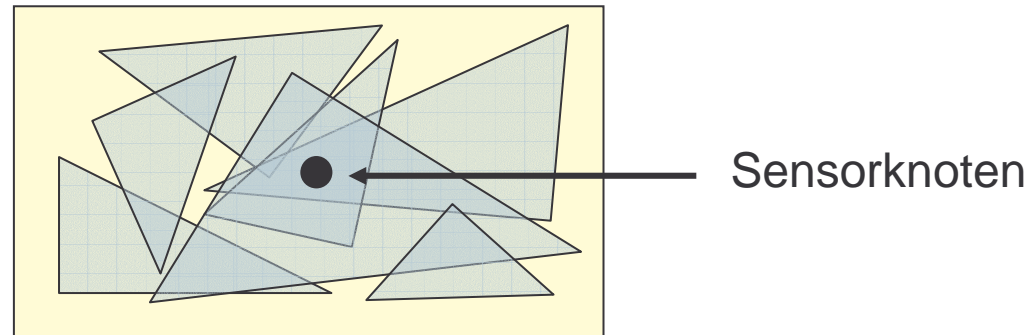
Stochastische Beaconverteilung

- Ähnlicher Verlauf der optimalen Übertragungsreichweite wie im Infrastrukturfall
- Min. Positionierungsfehler steigt von 3% auf 9% gegenüber Infrastruktur-Fall



APIT: Algorithmus

- Sensornetzwerk aus Knoten und n Beacons
- Hohe Sensorknotendichte
- Beacons senden Positionen aus
- Sensorknoten empfangen Beaconposition
 - Messung der Empfangsfeldstärke
- Bildung von $\binom{n}{3}$ Dreiecken aus Position aller Beacons



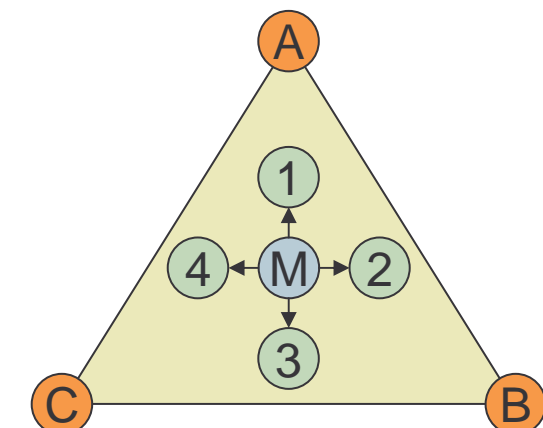
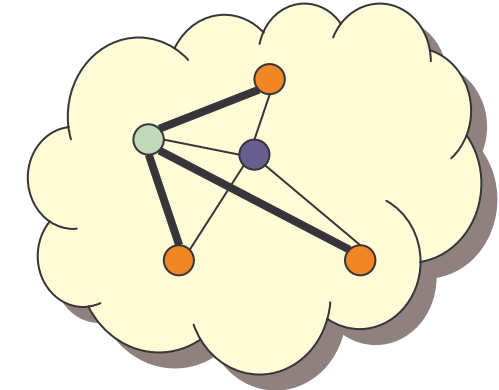
In welchen Dreiecken befindet sich der Sensorknoten ?



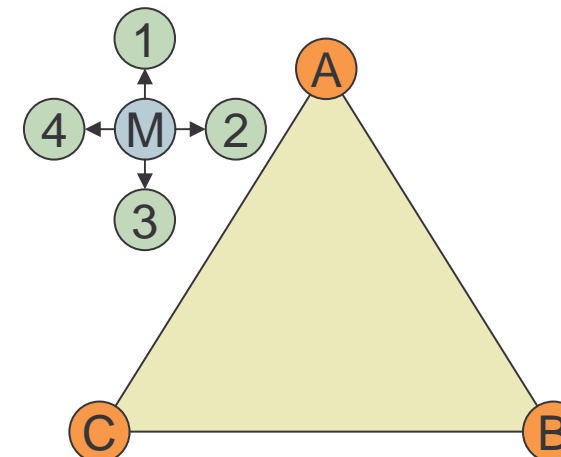
APIT: PIT-Test

Point-In-Triangulation (PIT) Test:

- Austausch der Beacondaten von 4 Nachbarn-Sensorknoten (1,2,3,4) nötig
- Vergleich: Abstände von Nachbarn zu Beacons (A,B,C) mit eigenen Abständen zu Beacons (Bedingung: 2 kürzer, 1 länger)
- PIT bestanden, wenn Vergleich mit allen 4 Nachbarn erfolgreich



Sensorknoten im Dreieck



Sensorknoten nicht im Dreieck



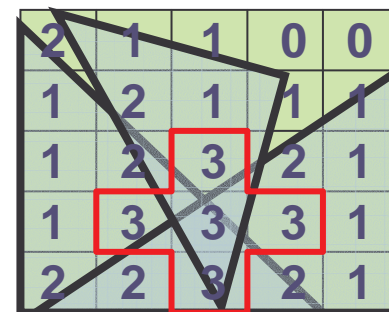
APIT: Aggregation

APIT-Aggregation:

- Diskretisierung der Dreiecke (SCAN Algorithmus)
- Überlagerung aller Dreiecke
- Übereinanderliegende Flächen inkrementieren

Positionsbestimmung:

- Schwerpunktbildung aus resultierender Fläche



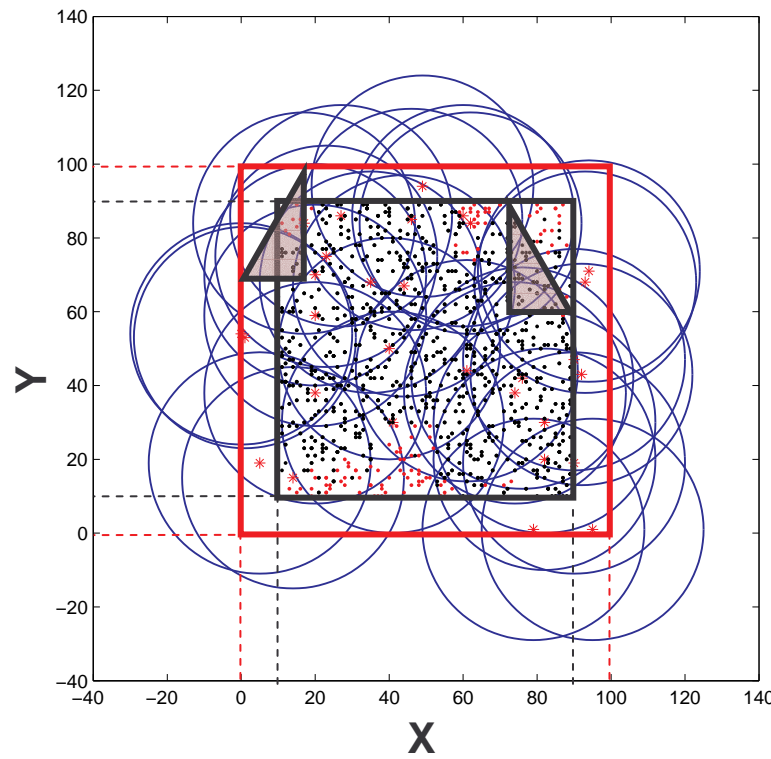
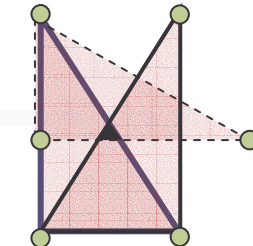
APIT-Aggregation



Verbesserung APIT

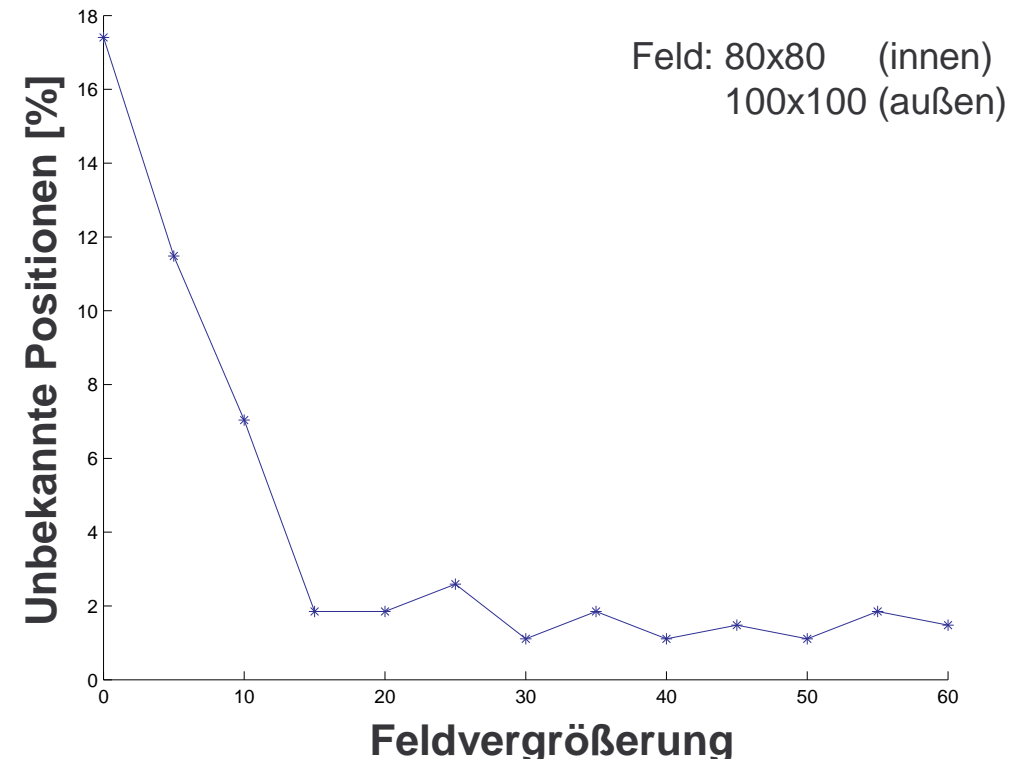
Anzahl positionsloser Knoten verringern:

- Ansatz: **Weitflächigere Verteilung der Beacons**
Bestimmung eines optimalen äußeren Bereiches
- Vorteil: **< 2% unbekannte Positionen**
- Nachteil: Steigender Fehler durch größere Dreiecke



* : Beacon

· : Einfacher Knoten

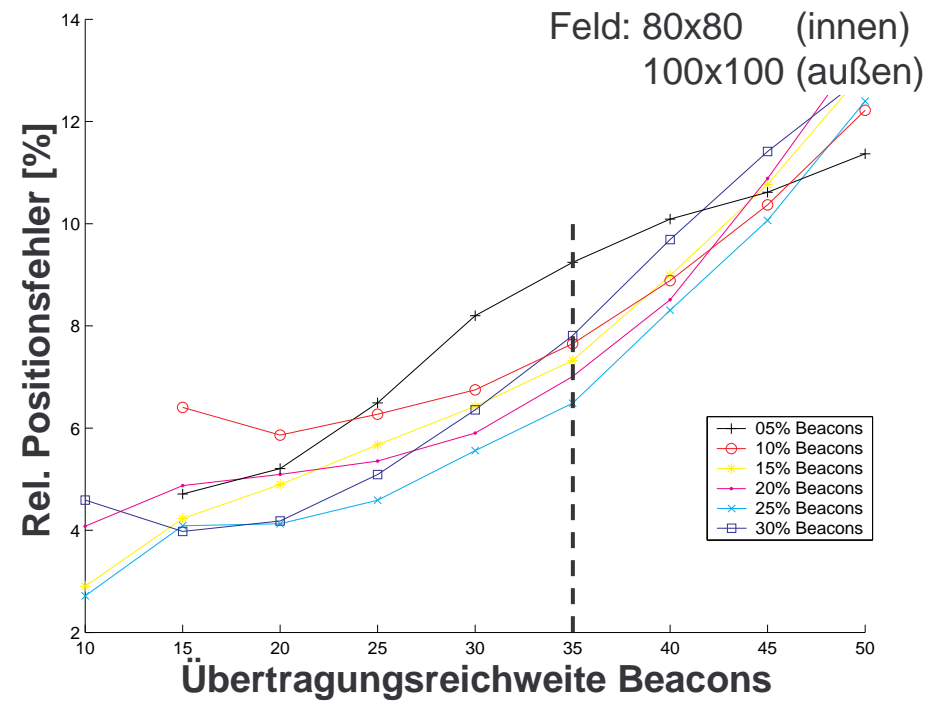
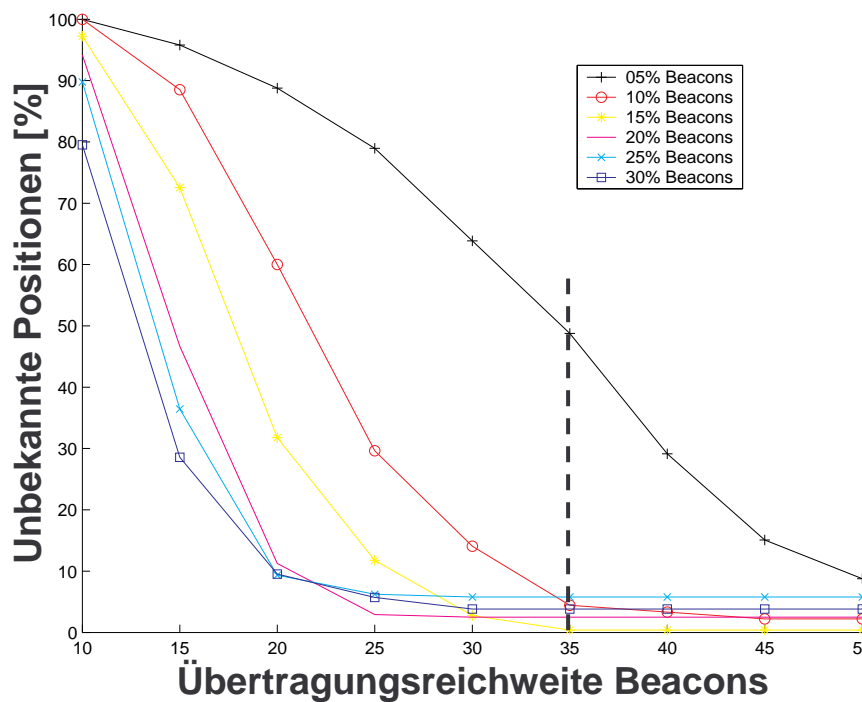


Verbesserung II - APIT

Frage: Optimale Übertragungsreichweite der Beacons

Ergebnis: Kompromiss: Reichweite Beacons \Leftrightarrow # unbekannte Positionen \Leftrightarrow Positionierungsfehler Δ

Beispiel: Gegeben: Anzahl der Beacons 10%, $\leq 5\%$ unbekannte Positionen
Lösung: Beacon-Reichweite_{optimal} = 35, Rel. $\Delta = 7.5\%$



Verringerung des Energieaufwands für Kommunikation und Berechnung



Literatur

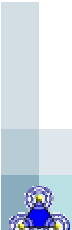
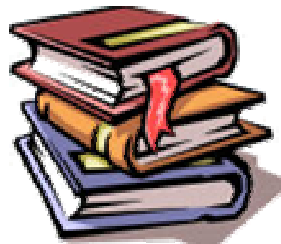
Coarse Grained

N. Bulusu, et. al.: „*GPS-less Low Cost Outdoor Localization For Very Small Devices*“

J. Blumenthal, F. Reichenbach, M. Handy, D. Timmermann: „*Optimal Adjustment Of The Coarse Grained Localization-Algorithm For Wireless Sensor Networks*“, Proceedings of 1st Intl. Workshop on Positioning, Navigation, and Communication WPNC'2004, Hanover, March 2004

APIT

Tian He, et. al.: „*Range-Free Localization Schemes for Large Scale Sensor Networks*“, *MobiCom 2003*



Vielen Dank

